arXiv:1805.08793v4 [math.NT] 8 Mar 2021

FAMILLES DE FORMES MODULAIRES DE DRINFELD POUR LE GROUPE GENERAL LINEAIRE

MARC-HUBERT NICOLE ET GIOVANNI ROSSO

Résumé. Soient F un corps de fonctions sur $\mathbb{F}_q$, A l'anneau des fonctions régulières hors d'une place ∞ et $\mathfrak{p}$ un idéal premier de A. En premier lieu, nous développons la théorie de Hida pour les formes modulaires de Drinfeld de rang r qui sont de pente nulle pour l'opérateur de Hecke U_π convenablement défini. En second lieu, nous montrons en pente finie l'existence de familles de formes modulaires de Drinfeld variant continûment selon le poids. En troisième lieu, nous prouvons un résultat de classicité : une forme modulaire de Drinfeld surconvergente de pente suffisamment petite par rapport au poids est une forme modulaire de Drinfeld classique.

1. Introduction

Depuis les travaux de Swinnerton-Dyer, Serre et Katz [KS73] sur les congruences modulo p entre les formes modulaires, le nombre d'avancées spectaculaires dans le domaine a crû sans cesse. En particulier, on sait démontrer que la plupart des formes automorphes peuvent être déformées en familles p-adiques. Cette technique de déformation a eu des applications des plus variées et impressionnantes : une liste très incomplète comprendrait la preuve par Greenberg–Stevens de la conjecture de Mazur–Tate–Teitelbaum sur les zéros exceptionnels des fonctions L p-adiques [GS93], de nouveaux cas de modularité potentielle de représentations galoisiennes symplectiques ou unitaires [BLGGT14], et la preuve par Emerton de la conjecture de Fontaine–Mazur pour les représentations de dimension 2 [Eme].

Le but de cet article est de développer une théorie des familles des formes modulaires de Drinfeld variant selon le poids. En pente zéro c'est-à-dire le cas ordinaire, nous obtenons des résultats fortement analogues à la construction classique de Hida [Hid86].

Soient X une courbe lisse et projective sur $\mathbb{F}_p$, et ∞ un point fixé de X ; soient $\mathbb{F}_q := \mathrm{H}^0(X, \mathcal{O}_X)$ le corps des fonctions constantes de X et $A := \mathrm{H}^0(X \backslash \{\infty\}, \mathcal{O}_X)$ l'anneau des fonctions régulières hors de l' ∞. On choisit un idéal premier $\mathfrak{p}$ de A de degré d qui sera supposé *principal* dans cette introduction uniquement ; et soit alors π un générateur de cet idéal $\mathfrak{p}$.

Suivant Pink [Pin13], on peut définir les formes modulaires de Drinfeld de rang r et poids k comme des sections d'un faisceau localement inversible ω^k sur la variété modulaire de Drinfeld compactifiée $\overline{M_\mathfrak{n}}$. De plus, on a une notion de module de Drinfeld ordinaire sur $A/\mathfrak{p}$, et le lieu des points $\mathfrak{p}$-ordinaires de $\overline{M_\mathfrak{n}} \times A/\mathfrak{p}$ est un ouvert affine. Tout ceci suggère que l'approche cohérente de Hida et Pilloni [Pil13] se généralise au cadre de Drinfeld. En effet, on sait que la partie connexe de la $\mathfrak{p}^n$-torsion d'un module de Drinfeld $\mathfrak{p}$-ordinaire est isomorphe à la $\mathfrak{p}^n$-torsion d'un module de Hayes pour A. On construit donc une tour d'Igusa Ig, qui est un schéma formel qui paramètre les isomorphismes issus de la $\mathfrak{p}^\infty$-torsion du module de Drinfeld universel $\mathfrak{p}$-ordinaire, et qui contient toutes les formes modulaires classiques.

On aurait envie d'utiliser les fonctions sur Ig pour définir un espace de formes modulaires $\mathfrak{p}$-adiques, mais plusieurs problèmes épineux se dressent tout de suite : la tour d'Igusa Ig est

Date: version du 9 mars 2021.
2010 *Mathematics Subject Classification.* 11F33, 11F52, 11G09.
Key words and phrases. Hida theory, p-adic families, Drinfeld modular forms of higher rank, eigenvarieties.

un pro-revêtement étale de groupe de Galois $A_{\mathfrak{p}}^{\times}$, donc l'ensemble de fonctions sur Ig est un module sur l'algèbre d'Iwasawa

$$\Lambda_\infty := A_{\mathfrak{p}}[\![1+\pi A_{\mathfrak{p}}]\!] \cong A_{\mathfrak{p}}[\![T_1, T_2, \ldots]\!],$$

algèbre qui est de dimension infinie, alors que par contraste, l'algèbre d'Iwasawa classique $\mathbb{Z}_p[[\mathbb{Z}_p^{\times}]]$ n'a que dimension 2.

De plus, quitte à prendre une extension de $A_{\mathfrak{p}}$ qui contienne les points de $\mathfrak{p}^n$-torsion du module de Hayes, on voit que les fonctions sur la tour d'Igusa contiennent toutes les formes modulaires de niveau $K_1(\mathfrak{p}^n)$.

Soit Λ l'algèbre d'Iwasawa de $A_{\mathfrak{p}}^{\times}$, qu'on décompose comme un produit d'algèbres locales :

$$\Lambda \cong \prod_{\frac{\mathbb{Z}}{(q^d-1)\mathbb{Z}}} \Lambda_\infty.$$

Cet espaces des poids en main, on peut alors appliquer la machinerie de [Hid02] et obtenir le résultat suivant, que nous voyons comme un analogue du théorème de contrôle vertical de Hida dans le cadre classique :

Théorème (Thm. 3.16)**.** *On a :*

- *un espace de formes modulaires $\mathfrak{p}$-adiques $\mathcal{V}$ muni d'un projecteur ordinaire ;*
- *un module de familles de Hida de formes modulaires de Drinfeld $\mathcal{M}$ de type fini sur Λ et libre sur Λ_∞ tel que, si k est assez grand, on récupère l'espace des formes modulaires ordinaires de poids k via un isomorphisme :*

$$\mathcal{M} \otimes_{\Lambda,k} \mathcal{O} \xrightarrow{\cong} \mathcal{M}_k^{\mathrm{ord}}$$

qui est équivariant pour l'action de l'algèbre de Hecke engendrée par les T_g et U_π.

Comme notre module est libre sur Λ_∞, on a aussi des fantasmagoriques formes modulaires de poids $(k_1, k_2, \ldots) \in \mathbb{Z}_p^{\mathbb{N}}$ sans correspondants classiques.

En rang 2, on retrouve les poids classiques pour les formes modulaires $\mathfrak{p}$-adiques de [Vin14, Gos14] et on obtient aussi les formes modulaires géométriques $\mathfrak{p}$-adiques de [Hatb].

Une fois obtenue la théorie de Hida i.e., les familles de formes modulaires de pente zéro, naturellement l'étape suivante est de chercher à construire les familles de pente finie. Mais l'espace adique associé à Λ_∞ n'a pas forcément de bonnes propriétés géométriques, car l'idéal qui définit la topologie n'est pas d'engendrement fini. Utilisant le plongement de Λ_∞ dans $\mathcal{C}(\mathbb{Z}_p, A_{\mathfrak{p}})$ induit par par la flèche $[1+z] \mapsto (s \mapsto (1+z)^s)$, on définit un anneau Λ^+ tel que :

$$\Lambda_\infty \subset \Lambda^+ \subset \Lambda_\infty[1/\pi].$$

L'espace adique $\mathcal{W}$ associé à Λ^+ a, quant à lui, des bonnes propriétés géométriques : c'est essentiellement une boule rigide en une infinité de variables. Malheureusement, on n'arrive pas à construire des faisceaux de formes modulaires de Drinfeld de poids κ pour tous les points κ de $\mathcal{W}$ car la plupart des caractères ne sont pas analytiques. On parvient quand même à définir des faisceaux surconvergents ω^s sur $\overline{M_{\mathfrak{n}}}(v)$ (un voisinage strict du lieu ordinaire) pour tout s dans $\mathbb{Z}_p$ plutôt, et variant *continûment* avec s. On a donc un faisceau $\omega^{s^{\mathrm{univ}}}$ sur $\overline{M_{\mathfrak{n}}}(v) \times \underline{\mathbb{Z}_p}$. On observe que ses sections globales forment un module orthonormalisable sur $\mathcal{C}(\mathbb{Z}_p, A_{\mathfrak{p}}[1/\pi])$, et on s'inspire fortement de la machinerie noethérienne de Buzzard pour conclure le théorème suivant dans notre contexte non noethérien :

Théorème (Thm. 4.19)**.** *(1) Il existe une variété spectrale $\mathcal{Z} \to \underline{\mathbb{Z}_p}$ qui est plate, localement quasi-finie, partiellement propre sur $\underline{\mathbb{Z}_p}$, et paramètre les inverses des valeurs propres de U_π sur le module des familles continues des formes surconvergentes.*

(2) Il existe une variété de Hecke $\mathcal{C} \to \mathcal{Z}$ qui paramètre les systèmes de valeurs propres de l'algèbre de Hecke sur le module des familles des formes surconvergentes.

En particulier, ce théorème nous dit que si f est une forme modulaire de Drinfeld de poids k propre pour U_π et de pente finie, alors à extension finie près de l'algèbre des fonctions continues $\mathcal{C}(U,\mathcal{O})$, il existe une fonction F sur $U \subset \mathbb{Z}_p$ telle que $F(s)$ est une valeur propre pour U_π dans l'espace des formes surconvergentes de poids s et $F(k) = f$, voir Cor. 4.20 pour un énoncé précis.

Dans la dernière section, nous traitons la classicité des formes surconvergentes de petite pente. Utilisant la méthode des séries de Kassaei [Kas06], nous démontrons le théorème suivant :

Théorème (Cor. 5.10)**.** *Soit f une forme modulaire de Drinfeld de poids k, surconvergente et propre pour U_π de pente $< k - r + 1$. Alors f est une forme de Drinfeld classique i.e.,*

$$f \in \mathrm{H}^0(\overline{M}_{\mathfrak{n},\mathrm{drap}}, \omega^k),$$

où $\overline{M}_{\mathfrak{n},\mathrm{drap}}$ est la variété modulaire de Drinfeld de niveau $K(\mathfrak{n}) \cap K_0(\mathfrak{p})$ sur $\mathcal{O}[1/\pi]$.

Grâce au programme de Langlands, on a maintenant une bonne connaissance des représentations à valeurs en caractéristique zéro du groupe de Galois de F. Par contre, les représentations à valeurs en caractéristique positive sont encore très mystérieuses, même pour GL(2). Par example, on ne sait pas grand-chose sur les représentations associées aux modules de Drinfeld de rang 1 ou à multiplication complexe : comme se demandait déjà Goss dans [Gos02], proviennent-elles toutes de la représentation associée à une forme de Drinfeld de rang 2, cf. [Böc15] ? Et quelle est leur ramification exactement ? Nos familles pourront être utiles pour avancer dans l'étude de ces représentations.

Beaucoup de questions intéressantes inspirées d'analogues classiques restent encore ouvertes, en particulier :

- *Théorie de Hida : contrôle horizontal.* Peut-on développer une théorie de Hida pour les formes modulaires de niveau arbitrairement profond en $\mathfrak{p}$? En particulier, peut-on améliorer les résultats de [Mar07] en prouvant un théorème de contrôle horizontal ?
- *Étude des pentes à la Gouvêa-Mazur.* Des calculs récents de Bandini–Valentino [BV19, BV18a] et Hattori [Hatc] ont suggéré une grande régularité dans la distribution des pentes de U_T quand $A = \mathbb{F}_q[T]$, et Hattori a prouvé une conjecture dans le style de Gouvêa et Mazur en rang 2 [Hata]. Peut-on généraliser ce résultat en rang supérieur ?
- *Optimalité en pente finie.* En particulier, peut-on dire si les fonctions continues qui paramètrent les systèmes de valeurs propres pour les opérateurs de Hecke qu'on a construit en pente finie positive appartiennent ou pas à (une extension de) Λ^+ ou de Λ_∞ ?
- *Classicalité en pente infinie.* Contrairement aux formes modulaires sur $\mathbb{Q}$, il y a des formes modulaires de Drinfeld classiques de niveau iwahorique et de pente infinie. Y a-t-il un critère pour distinguer les formes modulaires de Drinfeld classiques de pente infinie de celles qui sont purement π-adiques ?

2. La variété de Drinfeld et ses formes modulaires

On fixe une courbe lisse et projective X sur $\mathbb{F}_p$ et un point $\infty \in X$; soit $\mathbb{F}_q := \mathrm{H}^0(X, \mathcal{O}_X)$ le corps de fonctions constantes de X. On dénote par $A := \mathrm{H}^0(X \setminus \{\infty\}, \mathcal{O}_X)$ les fonctions régulières sur $X \setminus \{\infty\}$, par F son corps de fonctions, par F_∞ le complété de F par rapport à ∞, et par $\mathbb{C}_\infty$ la complétion de la clôture algébrique de F_∞. Soit aussi $\widehat{A} := \prod_{\mathfrak{p}} A_{\mathfrak{p}}$, où $\mathfrak{p}$ est un idéal premier de A. Pour chaque $\mathfrak{p}$, on dénote le corps résiduel de $A_{\mathfrak{p}}$ par $\kappa_{\mathfrak{p}}$.

2.1. Rappels sur les modules et formes modulaires de Drinfeld.

Soit r un entier et S un schéma sur A. Suivant Pink [Pin13], on définit :

Définition 2.1. Un module de Drinfeld généralisé de rang $\leqslant r$ sur un schéma S est un couple (E, φ) où :

— E est un schéma en groupes sur S muni d'un morphisme somme $\mathbb{G}_a \times E \longrightarrow E$ qui est localement isomorphe au schéma en groupe additif $\mathbb{G}_a$ muni du morphisme $\mathbb{G}_a \times_{\mathcal{O}_S} \mathbb{G}_{a,S} \longrightarrow \mathbb{G}_{a,S}$;
— φ est un morphisme d'anneaux

$$\varphi : A \longrightarrow \mathrm{End}(E), \quad a \mapsto \varphi_a = \sum_i \varphi_{a,i}\tau^i,$$

tel que $\varphi_{a,i} \in \Gamma(S, E^{1-q^i})$ satisfaisant

(1) la dérivée $\mathrm{d}\varphi : a \mapsto \varphi_{a,0}$ coïncide avec le morphisme structurel $A \longrightarrow \Gamma(S, \mathcal{O}_S)$;
(2) au-dessus de tout point $s \in S$, le morphisme φ définit un module de Drinfeld de rang $r_s \geqslant 1$;
(3) pour tout $a \in A$ et $i > r\deg(a)$, on a $\varphi_{a,i} = 0$.

Un module de Drinfeld de rang $r \geqslant 1$ est un module de Drinfeld généralisé de rang $\leqslant r$ tel que (2) est remplacé par

(2') au-dessus de tout point $s \in S$, le morphisme φ définit un module de Drinfeld de rang $r_s = r$;

Par abus de notation, on n'utilisera que le symbole φ pour représenter un module de Drinfeld. Si $S = \mathrm{Spec}(R)$ et (E, φ) est un module de Drinfeld sur S, on dira plutôt que (E, φ) est un module de Drinfeld sur R.

On définit le schéma en groupes de la $\mathfrak{n}$-torsion de (E, φ) comme

$$\varphi[\mathfrak{n}] := \bigcap_{a \in \mathfrak{n}} \mathrm{Ker}(\varphi_a).$$

Définition 2.2. Soit $\mathfrak{n}$ un idéal de A et S un schéma sur A ; on définit une structure de niveau $\mathfrak{n}$ sur un module de Drinfeld E de rang r par un morphisme de A-schéma en groupes sur S :

$$\alpha : \underline{(\mathfrak{n}^{-1}/A)^r} \longrightarrow \varphi[\mathfrak{n}]$$

qui identifie $\sum \alpha(i)$ avec le diviseur de Cartier sur E associé à $\varphi[\mathfrak{n}]$. Si $\mathfrak{n}$ est inversible dans S, alors une structure de niveau $\mathfrak{n}$ est tout simplement un isomorphisme

$$\alpha : \underline{(\mathfrak{n}^{-1}/A)^r} \xrightarrow{\cong} \varphi[\mathfrak{n}]$$

Remarque 2.3. Quand $S = \mathrm{Spec}(K)$ pour K un corps, on peut trouver un polynôme $\varphi_{\mathfrak{n}}(\tau)$ dans $K\{\tau\}$ tel que $\varphi[\mathfrak{n}] \cong \mathrm{Ker}(\varphi_{\mathfrak{n}})$ [Gos96, Def. 4.4.4].

On peut définir le problème de modules suivant :

$$M_{\mathfrak{n}} : \{A\text{-algèbres } S\} \to \left\{ \begin{array}{c} \text{classes d'isomorphisme des couples } (\varphi, \alpha) \text{ où} \\ \varphi \text{ est un module de Drinfeld et } \alpha \text{ une structure de niveau } \mathfrak{n} \end{array} \right\}.$$

Si on suppose que $\mathfrak{n}$ est un produit d'au moins deux idéaux premiers distincts, on a le théorème suivant dû à Drinfeld :

Théorème 2.4. Le foncteur $M_{\mathfrak{n}}$ a les propriétés suivantes :
— Il est représenté par un schéma qu'on note également $M_{\mathfrak{n}}$;
— Le schéma $M_{\mathfrak{n}}$ est affine, lisse sur $A[\mathfrak{n}^{-1}]$ et de dimension relative $r-1$ sur A ;
— Si $\mathfrak{m} \subset \mathfrak{n}$ alors le morphisme d'oubli $M_{\mathfrak{m}} \to M_{\mathfrak{n}}$ est fini et plat ; de plus, il est étale en dehors de $\mathfrak{m}\mathfrak{n}^{-1}$.

La variété $M_{\mathfrak{n}}$ est munie de sa famille de modules de Drinfeld de rang r universelle $(\mathcal{E}, \varphi)$. Pour tout idéal $\mathfrak{n}$ de A, on définit

$$K(\mathfrak{n}) := \mathrm{Ker}\left(\mathrm{GL}_r(\widehat{A}) \to \mathrm{GL}_r(A/\mathfrak{n})\right)$$

et on dit qu'un sous-groupe K de $K(\mathfrak{n})$ est fin s'il existe un idéal premier $\mathfrak{q}$ tel que l'image de K dans $\mathrm{GL}_2(A/\mathfrak{q})$ est unipotente.

Définition 2.5. Un plongement ouvert $M_\mathfrak{n} \hookrightarrow \overline{M_\mathfrak{n}}$ de $A[\mathfrak{n}^{-1}]$-schémas est appelé compactification minimale ou de Satake(–Baily–Borel) de $M_\mathfrak{n}$ si les deux conditions suivantes sont satisfaites :

(1) Le schéma $\overline{M_\mathfrak{n}}$ est une variété normale, intègre et projective sur $A[\mathfrak{n}^{-1}]$;
(2) La famille de modules de Drinfeld $(\mathcal{E}, \varphi)$ s'étend à une famille de modules de Drinfeld généralisés "faiblement séparante" sur $\overline{M_\mathfrak{n}}$.

Théorème 2.6. Il existe une compactification de Satake de $M_\mathfrak{n}$ sur $A[\mathfrak{m}^{-1}]$, unique à unique isomorphisme près, pour $\mathfrak{m} \subset \mathfrak{n}$; de plus, elle est plate. Si $\mathfrak{n} = (t)$, on peut aussi choisir $\mathfrak{m} = \mathfrak{n}$.

Démonstration. Une telle compactification est construite sur F par Pink [Pin13] ; il nous reste à démontrer qu'on peut étendre sa compactification à $A[\mathfrak{n}^{-1}]$. On commence par le cas $A = \mathbb{F}_q[t]$ et $\mathfrak{n} = (t)$. La même construction de [Pin13, §7] nous donne $M_{(t)}$ sur $\mathbb{F}_q[t, t^{-1}]$ (la seule propriété dont on a besoin est qu'une structure de niveau (T) est donnée par un isomorphisme de $\varphi[T]$ avec $\mathbb{F}_q^r$), qui est plate car obtenue par localisation de $\mathbb{P}^{r-1}$, qui est plat sur la base. On peut ensuite continuer comme dans la démonstration de [Pin13, Thm. 4.2] : on choisit un élément $t \in \mathfrak{n}$ et on construit la compactification de Satake pour $A = \mathbb{F}_q[t]$ et niveau (t). On utilise donc les lemmes 4.3, 4.4 et 4.5 de *loc. cit.*, qui n'utilisent que le fait que la structure de niveau est donnée par $\alpha : \underline{(\mathfrak{n}^{-1}/A)^r} \xrightarrow{\cong} \varphi[\mathfrak{n}]$, pour descendre la compactification au quotient. □

En particulier, on a sur $M_\mathfrak{n}$ un faisceau ω défini via le dual $\omega := (\mathrm{Lie}\,\mathcal{E})^\vee := (\mathrm{Lie}\,\mathcal{E})^{-1}$ de l'algèbre de Lie de $(\mathcal{E}, \varphi)$ vu comme un fibré inversible. Posons $\omega^k := \omega^{\otimes k}$ pour alléger la notation. On définit les formes modulaires de Drinfeld de poids k et niveau $\mathfrak{n}$:

$$\mathcal{M}_k := \mathrm{H}^0(\overline{M_\mathfrak{n}}, \omega^k).$$

Par la suite, il sera pratique de poser :

$$\mathcal{T} := \mathrm{Isom}(\mathcal{O}_{\overline{M_\mathfrak{n}}}, \omega).$$

C'est immédiat de vérifier que $\mathcal{T}$ est un GL_1-torseur et que $\omega^k = \mathcal{O}_\mathcal{T}[k]$.

2.2. **La variété modulaire de Drinfeld modulo $\mathfrak{p}$.** On fixe maintenant un idéal premier $\mathfrak{p}$ de degré d, qu'on suppose relativement premier au niveau $\mathfrak{n}$ (supposé principal).

Lemme 2.7. Soit (E, φ) un module de Drinfeld de rang r sur un corps K et R un sous-anneau de K, régulier et local. Alors $\varphi[\mathfrak{p}] = \mathrm{Ker}(\varphi_\mathfrak{p})$ pour $\varphi_\mathfrak{p}$ un polynôme dans $R\{\tau\}$.

Démonstration. Par le remarque 2.3 on sait que $\varphi_\mathfrak{p}$ divise φ_a dans $K\{\tau\}$, pour tout a dans $\mathfrak{p}$. Comme R est un anneau régulier et local, on dispose du lemme de Gauß, donc une factorisation sur $K\{\tau\}$ d'un polynôme primitif se relève à $R\{\tau\}$. □

On s'intéresse au cas où K est une extension finie de $A/\mathfrak{p}$. Par simplicité, pour tout schéma Y sur $A_{(\mathfrak{p})}$ on utilisera la notation Y_1 pour indiquer $Y \times \mathrm{Spec}(A/\mathfrak{p})$. On sait que $\varphi[\mathfrak{p}]$ est un module fini et plat de rang q^{rd}. Le lemme suivant permet de commencer à analyser sa structure (rappelons la notation standard que π est une uniformisante de $A_\mathfrak{p}$) :

Lemme 2.8. Soit $(\mathcal{E}, \varphi)$ le module de Drinfeld universel sur K une extension finie de $A/\mathfrak{p}$. On a alors

$$\varphi_\pi = \varphi_{\pi,dh}\tau^{dh} + \cdots$$

pour $h \geqslant 1$.

Démonstration. Cf. [Gos96, Proposition 4.5.7]. □

L'entier h est appelé la hauteur de $\varphi[\mathfrak{p}]$.

Proposition 2.9. Soit (E, φ) un module de Drinfeld de rang r. Les assertions suivantes sont équivalentes :

(a) Le module de Drinfeld a hauteur h.
(b) $|\varphi[\mathfrak{p}](\overline{\mathbb{F}}_q)| = q^{d(r-h)}$.
(c) Les pentes du polygone de Newton de $\varphi[\mathfrak{p}]$ sont 0 avec multiplicité $r-h$ et $1/h$ avec multiplicité h.

Démonstration. C'est une conséquence directe de la décomposition du module de Dieudonné de $\varphi[\mathfrak{p}]$ donnée dans [Lau96, Proposition 2.4.6]. □

Définition 2.10. Un groupe $\mathfrak{p}$-divisible (ou $\mathfrak{p}$-Barsotti–Tate) est un $\mathbb{F}_{q^d}$-schéma en $A_{\mathfrak{p}}$-modules qui est limite directe de $\mathbb{F}_{q^d}$-schéma en $A_{\mathfrak{p}}$-modules finis

$$G = (G_1 \xrightarrow{i_1} G_2 \xrightarrow{i_2} \cdots)$$

tel que pour tout $n \geqslant 1$ les propriétés suivantes sont vraies :

(i) comme schéma en $\mathbb{F}_{q^d}$-espaces vectoriels, G_n se plonge dans $\mathbb{G}_a^M$, pour un entier M convenable ;
(ii) comme schéma en $\mathbb{F}_{q^d}$-espaces vectoriels, la dimension de G_n est nr, pour r qui ne dépend pas de n et qui est appellé le rang de G ;
(iii) la suite

$$0 \longrightarrow G_n \xrightarrow{i_n} G_{n+1} \xrightarrow{\pi^n} G_{n+1}$$

est exacte.

Soit $\mathcal{G}$ un groupe $\mathfrak{p}$-divisible de dimension 1 et rang r, tronqué d'échelon 1, et $\mathcal{D}(\mathcal{G})$ son module de Dieudonné contravariant. C'est un $A/\mathfrak{p}$-espace vectoriel de dimension r muni d'un Frobenius F et d'un Verschiebung V tels que $FV = VF = 0$. De plus, on a que $\mathcal{D}(\mathcal{G})/F(\mathcal{D}(\mathcal{G}))$ est un espace vectoriel sur $A/\mathfrak{p}$ de dimension 1. On fixe un espace vectoriel N de dimension r avec un sous-espace vectoriel L de dimension $r-1$. On fixe aussi $C_\bullet$, un drapeau complet $0 = C_0 \subsetneq C_1 \ldots \subsetneq C_r = N$. Soit

$$f : (N, L) \to (\mathcal{D}(\mathcal{G}), F(\mathcal{D}(\mathcal{G})))$$

un isomorphisme d'espaces vectoriels qui envoie L dans $F(\mathcal{D}(\mathcal{G}))$. La position de $F(\mathcal{D}(\mathcal{G}))$ par rapport au drapeau $C_\bullet$ donne un élément w de $\mathfrak{S}_{r-1}\backslash\mathfrak{S}_r$ qui est indépendent du choix de $C_\bullet$ et f [Moo01, §3.5 Example A].

On explicite le représentant w : il y a un seul indice $i = i(w)$ tel que $\dim(F(\mathcal{D}(\mathcal{G})) \cap C_i) = \dim(F(\mathcal{D}(\mathcal{G})) \cap C_{i-1})$, et w est la permutation

$$\begin{pmatrix} 1 & \cdots & i-1 & i & i+1 & \cdots & r \\ 1 & \cdots & i-1 & r & i & \cdots & r-1 \end{pmatrix}.$$

La longueur $l(w)$ est indépendante du choix de w et peut être facilement calculée par la formule :

$$l(w) = \sum_{j \neq i} j - w(j) = r - i(w).$$

On a l'égalité $i(w) = h$, donc le cas supersingulier correspond à $i(w) = r$, $w = \mathrm{id}$. Le cas ordinaire correspond à $i(w) = 1$, w étant alors le seul élément de longueur $r-1$.

Soit $\mathfrak{p}$-$\mathcal{BT}_1$ l'espace des modules des groupes $\mathfrak{p}$-divisibles de dimension 1 et rang r, tronqué en échelon 1. Par la remarque qui précède on a une flèche de $\mathfrak{p}$-$\mathcal{BT}_1$ vers $\mathfrak{S}_{r-1}\backslash\mathfrak{S}_r$. On peut donc démontrer les analogues de [Moo04, Theorem 2.1.2] et [Oor99, Theorem 6.10] :

Théorème 2.11. Soit $M_{\mathfrak{n},\mathfrak{p}}$ la fibre spéciale en $\mathfrak{p}$. Le flèche naturelle qui envoie un module de Drinfeld dans sa $\mathfrak{p}$-torsion induit un morphisme lisse et plat $M_{\mathfrak{n},\mathfrak{p}} \to \mathfrak{p}\text{-}\mathcal{BT}_1$. Composant avec la flèche dans $\mathfrak{S}_{r-1}\backslash\mathfrak{S}_r$, on obtient une stratification

$$M_{\mathfrak{n},\mathfrak{p}} = \bigsqcup_w M_{\mathfrak{n},\mathfrak{p}_w}$$

La strate $M_{\mathfrak{n},\mathfrak{p}_w}$ est de dimension $l(w)$.

Démonstration. Le point crucial pour l'application effective de la méthode de Moonen est de montrer que la strate de dimension minimale, ici supersingulière, est non-vide. C'est toujours le cas pour les variétés modulaires de Drinfeld comme il est bien connu car la cardinalité de la strate supersingulière est un nombre de classes, voir par exemple [Gek91, Thm. 4.3], mais aussi [Gek90], [Gek92] et plus récemment [YY04]. Comme Drinfeld a prouvé la lissité du morphisme dans [Dri74, Sect.4], la non-vacuité des autres strates en découle par la stratégie axiomatisée de [HR17, §3] et la formule de dimension (que Moonen a prouvé en général sous l'hypothèse de non-vacuité). □

Corollaire 2.12. Il y a une seule strate de dimension maximale, et elle correspond au cycle w de longueur $r-1$ car $h=1$. C'est la strate ordinaire que l'on note dorénavant $M^{\mathrm{ord}}_{\mathfrak{n},\mathfrak{p}}$.

On a besoin du lemme suivant pour étudier les modules de Drinfeld ordinaires :

Lemme 2.13. À isomorphisme près, il y a un seul groupe $\mathfrak{p}$-divisible de dimension 1 et rang 1 qui correspond à la $\mathfrak{p}^\infty$-torsion d'un module de Hayes [Gos96, §7.2].

Démonstration. On remarque que pour un groupe $\mathfrak{p}$-divisible d'échelon 1, c'est une conséquence du théorème 2.11 pour $r=1$. Plus généralement, c'est la même preuve que [LT66] ; voir par exemple [HG94, §12]. □

Supposons pour l'instant que $(\mathfrak{p})$ soit principal ; soit $(\mathcal{E},\varphi)$ le module de Drinfeld universel de rang r et $\varphi_{\mathfrak{p}}$ un polynôme tel que $\varphi[\mathfrak{p}] = \mathrm{Ker}(\varphi_{\mathfrak{p}})$. Modulo $\mathfrak{p}$, on peut l'écrire :

$$\varphi_{\mathfrak{p}}(\tau) = a_d\tau^d + \ldots + a_{dr}\tau^{dr}.$$

Par la proposition 2.9 et le corollaire 2.12, on voit que a_d donne une section non-nulle de ω^{q^d-1} pour tous les points du lieu ordinaire. En général, il n'est pas clair que l'on puisse trouver un seul polynôme pour définir $\varphi[\mathfrak{p}]$ sur tout $M_{\mathfrak{n},\mathfrak{p}}$. Donc on choisit un élément $\pi \in A$ de norme $q^{d'}$ tel que $\mathfrak{p} = \pi A_{(\mathfrak{p})}$.

Lemme 2.14. Soit

$$\varphi_\pi \equiv a_d\tau^d + \ldots + a_{d'r}\tau^{d'r} \bmod \mathfrak{p};$$

pour tout x dans $M^{\mathrm{ord}}_{\mathfrak{n},\mathfrak{p}}$ on a que $a_d(x) \neq 0$, et pour x dans $M_{\mathfrak{n},\mathfrak{p}}\backslash M^{\mathrm{ord}}_{\mathfrak{n},\mathfrak{p}}$ on a $a_d(x) = 0$.

Démonstration. En effet, on peut décomposer la π-torsion

$$\varphi[\pi] = \varphi[\mathfrak{p}] \times \varphi[\mathfrak{n}'],$$

pour $\mathfrak{n}'$ un idéal premier à $\mathfrak{p}$. Si x est un point ordinaire, alors $|\varphi[\pi](\overline{\mathbb{F}}_q)| = q^{d(r-1)}q^{(d'-d)r}$, ce qui force a_d à être non-nul ; si x n'est pas ordinaire, alors $|\varphi[\pi](\overline{\mathbb{F}}_q)| < q^{d(r-1)}q^{(d'-d)r}$, ce qui force a_d à être nul. □

Factorisons φ_π par le Frobenius τ^d i.e., $\varphi_\pi = \left(a_d + \ldots + a_{d'r}\tau^{d'r-d}\right) \circ \tau^d$, et définissons le Verschiebung

$$V := a_d + \ldots + a_{d'r}\tau^{d'r-d}.$$

Identifions $\omega^{q^d-1} = \mathrm{Hom}\Big((\mathrm{Lie}\,\mathcal{E})^\vee, ((\mathrm{Lie}\,\mathcal{E})^{q^d})^\vee\Big)$.

Définition 2.15. L'invariant de Hasse associé à $M_{\mathfrak{n},\mathfrak{p}}$ est la section définie par le dual de la linéarisation dV du Verschiebung sur l'algèbre de Lie de $\mathcal{E}$ c'est-à-dire

$$\mathrm{Ha} \in \mathrm{H}^0(M_{\mathfrak{n},\mathfrak{p}}, \omega^{q^d-1}).$$

On voit immédiatement que l'invariant de Hasse est identifié au coefficient a_d ci-haut.

L'invariant de Hasse dépend du choix de π, mais par le lemme qui précède, son lieu d'annulation est indépendant de π.

Par un inoffensif abus de notation, on appelle aussi invariant de Hasse son prolongement naturel à $\overline{M}_{\mathfrak{n},\mathfrak{p}}$. On remarque que l'invariant de Hasse se relève évidemment à toute la variété modulaire $\overline{M}_{\mathfrak{n}}$; on dénotera par $\widetilde{\mathrm{Ha}}$ son relèvement.

Lemme 2.16. Le lieu de non-annulation de Ha est un sous-schéma ouvert et affine de $\overline{M}_{\mathfrak{n},\mathfrak{p}}$ noté $\overline{M}^{\mathrm{ord}}_{\mathfrak{n},\mathfrak{p}}$. De plus, le lieu d'annulation de Ha est réduit.

Démonstration. Le lieu de non-annulation est affine car Ha est une section globale d'un fibré en droite sur un schéma projectif.

Pour démontrer le deuxième point, il suffit de vérifier qu'il n'y a que des zéros simples dans la strate $M_{\mathfrak{n},\mathfrak{p}_w}$, pour w telle que $i(w) = 2$ (qui est non-vide car le lieu d'annulation de Ha est une hypersurface). Soit donc x un point de $M_{\mathfrak{n},\mathfrak{p}_w}(\overline{\kappa}_{\mathfrak{p}})$.

La méthode de Moonen déjà utilisée dans la preuve du théorème 2.11 nous dit que le module de Dieudonné d'une déformation infinitésimale sur $\overline{\kappa}_{\mathfrak{p}}[Y]/(Y^2)$ du $\mathfrak{p}$-Barsotti–Tate associé à x a pour Frobenius (dans une base opportune) la matrice

$$\begin{pmatrix} 0 & 0 & 0 & \cdots & 0 \\ 1 & -Y & 0 & \cdots & 0 \\ 0 & 0 & 1 & \cdots & 0 \\ & & & & \\ 0 & 0 & 0 & \ddots & 0 \\ 0 & 0 & 0 & \cdots & 1 \end{pmatrix}.$$

Il suffit donc d'identifier la linéarisation de l'action du Frobenius avec la multiplication par l'invariant de Hasse. Mais si π est tel que $v_{\mathfrak{p}}(\pi)= 1$ on voit, exactement comme dans la preuve de [Lau96, Lemma 2.5.4], que l'action de π sur le module de Dieudonné se factorise par le Frobenius (car le Frobenius coïncide avec τ^d). On se restreint donc au sous-module engendré par les deux premiers vecteurs de la base ; si $a_{d'}(x) = 0$ alors π agit comme le carré du Frobenius, ce qui implique alors $v_{\mathfrak{p}}(\pi) \geqslant 2$, d'où la contradiction. □

Lemme 2.17. On peut choisir l'uniformisante π de manière à ce que l'invariant de Hasse satisfasse :

$$\mathrm{Ha} \equiv 1 \text{ sur } \overline{M}^{\mathrm{ord}}_{\mathfrak{n},\mathfrak{p}}.$$

Démonstration. Par la théorie des modules de Dieudonné de [Lau96], ceci revient à normaliser la matrice du Frobenius de façon à ce que

$$F = \begin{pmatrix} \pi & 0 & \cdots & 0 \\ 0 & 1 & \cdots & 0 \\ & & & \\ 0 & 0 & \ddots & 0 \\ 0 & 0 & \cdots & 1 \end{pmatrix},$$

dans une base où le premier vecteur engendre ω une fois restreint au lieu ordinaire. □

Un point de $\overline{M}^{\mathrm{ord}}_{\mathfrak{n},\mathfrak{p}} \backslash M^{\mathrm{ord}}_{\mathfrak{n},\mathfrak{p}}$ est un module de Drinfeld généralisé, dont la $\mathfrak{p}^\infty$-torsion est une extension d'une partie connexe de $A_{\mathfrak{p}}$ rang 1 et une partie étale de rang $0 \leqslant r' < r$.

En général, par tiré-en-arrière, on peut définir le lieu ordinaire $\overline{M}^{\mathrm{ord}}_{\mathfrak{n},m}$ dans $\overline{M}^{\mathrm{ord}}_{\mathfrak{n},\mathfrak{p}} \times \mathrm{Spec}(A/\mathfrak{p}^m)$. On définit donc un schéma formel $\overline{M}^{\mathrm{ord}}_{\mathfrak{n}} := \varprojlim_m \overline{M}^{\mathrm{ord}}_{\mathfrak{n},m}$.

3. Théorie de Hida

Dans cette section, on fixe une extension $\mathcal{O}$ finie et non-ramifiée de $A_\mathfrak{p}$ suffisamment grande.

Le but de cette section est de développer la théorie de Hida pour les formes modulaires de Drinfeld. On construit un espace convenable où l'on peut plonger les formes modulaires de Drinfeld et où elles y sont denses pour la topologie π-adique. Nous employons pour notre construction la tour d'Igusa c'est-à-dire un recouvrement pro-étale de groupe de Galois $A_\mathfrak{p}^\times$ du lieu ordinaire obtenu en trivialisant le dual de Cartier–Taguchi de la partie connexe de la $\mathfrak{p}^\infty$-torsion du module de Drinfeld universel. Les fonctions sur la tour d'Igusa sont les formes modulaires de Drinfeld π-adiques qui nous intéressent. Bien entendu, toute forme modulaire de Drinfeld définit une fonction sur la tour d'Igusa et donc par conséquent une forme modulaire de Drinfeld π-adique. Sur l'espace des formes modulaires de Drinfeld π-adiques, nous définissons deux opérateurs : l'opérateur U_π et la multiplication par (un relèvement d'une puissance de) l'invariant de Hasse. Ces deux opérateurs commutent et nous permettent de démontrer d'une part que les formes classiques sont denses π-adiquement et d'autre part que la partie où U_π agit comme un opérateur inversible, autrement dit la partie ordinaire, est de rang fini sur l'algèbre d'Iwasawa $\mathcal{O}[\![A_\mathfrak{p}^\times]\!]$, en utilisant en particulier un résultat intermédiaire qui stipule que la multiplication par l'invariant de Hasse induit un isomorphisme entre les formes ordinaires de poids k et les formes de poids $k + q^d - 1$.

3.1. **La tour d'Igusa et les formes modulaires $\mathfrak{p}$-adiques.** On fixe une fois pour toutes un groupe de $\mathfrak{p}$-Barsotti–Tate de dimension 1 et hauteur 1 sur $A_\mathfrak{p}$ qu'on appelle CH (d'après Carlitz et Hayes), on fixe aussi une différentielle invariante $\mathrm{d}z$ pour CH. On a vu dans la section précédente que la partie connexe du $\mathfrak{p}$-Barsotti-Tate $E[\mathfrak{p}^\infty]$ d'un module de Drinfeld sur $\overline{\kappa}_\mathfrak{p}$ est isomorphe à CH. Suivant [Tag95, §4, Thm 4.3], le dual de Cartier-Taguchi de CH est un groupe de $\mathfrak{p}$-Barsotti–Tate étale. Nous utilisons la notation $G^\vee$ pour le dual de Cartier-Taguchi de G.

On construit donc, suivant le modèle de Hida [Hid02], une tour d'Igusa. Plus précisément, soit $(\overline{\mathcal{E}}^{ord}, \overline{\varphi})$ le tiré-en-arrière du module de Drinfeld généralisé sur le lieu ordinaire. On définit ainsi la tour d'Igusa :

$$\begin{aligned}\mathrm{Ig}_{n,m} :=& \mathrm{Isom}_{\overline{M}^{\mathrm{ord}}_{\mathfrak{n},m}}\left((\overline{\varphi}[\mathfrak{p}^n]^\circ)^\vee, \frac{1}{\mathfrak{p}^n}A_\mathfrak{p}/A_\mathfrak{p}\right),\\ \mathrm{Ig} :=& \mathrm{Isom}((\overline{\varphi}[\mathfrak{p}^\infty]^\circ)^\vee, F_\mathfrak{p}/A_\mathfrak{p}) = \varprojlim_m \varinjlim_n \mathrm{Ig}_{n,m}.\end{aligned}$$

Le schéma formel Ig est un pro-revêtement étale du lieu ordinaire $\overline{M}^{\mathrm{ord}}_\mathfrak{n}$ de groupe de Galois $A_\mathfrak{p}^\times$. Nous remercions Richard Pink d'avoir porté notre attention sur la question de l'irréducibilité de la tour d'Igusa :

Théorème 3.1. Soit $\overline{M}^{\mathrm{ord},\circ}_\mathfrak{n}$ une composante irréductible de $\overline{M}^{\mathrm{ord}}_\mathfrak{n}$; alors la restriction de Ig à $\overline{M}^{\mathrm{ord},\circ}_\mathfrak{n}$ est irréductible.

Démonstration. On emprunte la stratégie de Hida [Hid11, Hid05] : on utilise un point $x = ((E,\varphi),\alpha)$ du lieu ordinaire de la variété de Drinfeld ayant beaucoup d'automorphismes. Notons que tout module de Drinfeld a au moins l'anneau A comme sous-anneau d'endomorphismes. L'idée est que si l'image de ces automorphismes est dense dans le groupe de Galois $A_\mathfrak{p}^\times$, le groupe de décomposition de x est alors $A_\mathfrak{p}^\times$ tout entier, ce qui entraîne l'irréducibilité. Soit donc $A_{(\mathfrak{np})}$ l'anneau des éléments a de F tels que $v_\mathfrak{q}(a) \geqslant 0$ pour tous les premiers $\mathfrak{q}$ divisant $\mathfrak{np}$. Si $a \in A^\times_{(\mathfrak{np})}$ et $a \equiv 1 \bmod \mathfrak{n}$, on a alors

$$((E,\varphi),\alpha,\gamma) \cong (\mathrm{Im}(a), a\circ\alpha, \gamma\circ a^{-1}),$$

où l'isomorphisme est induit par l'isogénie a^{-1}. On a un plongement naturel $A^\times_{(\mathfrak{np})} \to A^\times_\mathfrak{p}$: l'action ne change pas x par la condition de congruence modulo $\mathfrak{n}$. En plus, par le théorème des restes chinois, l'image des éléments de $A^\times_{(\mathfrak{np})}$ ayant la congruence donnée est dense dans $A^\times_\mathfrak{p}$ et est contenue dans le groupe de décomposition en x, qui nous suffit pour conclure. □

On a une flèche naturelle :

$$\begin{array}{rccc} \mathrm{HT}: & \mathrm{Ig} & \to & \mathcal{T} \times_{\overline{M}^r_\mathfrak{n}} \overline{M}^{\mathrm{ord}}_\mathfrak{n} \\ & \gamma & \mapsto & (1 \mapsto \gamma^\vee_* \mathrm{d}z) \end{array},$$

pour $\gamma^\vee$ le dual de Cartier-Taguchi de γ. Cette flèche nous permet de voir les formes modulaires de Drinfeld comme fonctions sur la tour d'Igusa. En fait, pour tout $n \in \mathbb{N}$, on a la flèche

$$\mathrm{H}^0(M_\mathfrak{n} \times \mathrm{Spec}(\mathcal{O}/\mathfrak{p}^m), \omega^k) \to \mathcal{O}_{\mathrm{Ig}_{n,m}}. \tag{1}$$

Il est donc naturel de définir ces deux espaces de formes modulaires $\mathfrak{p}$-adiques :

$$V := \varprojlim_m \varinjlim_n \mathcal{O}_{\mathrm{Ig}_{n,m}} \text{ et } \mathcal{V} := \varinjlim_{m,n} \mathcal{O}_{\mathrm{Ig}_{n,m}}.$$

L'espace V est muni de la topologie profinie et l'espace $\mathcal{V}$ de la topologie discrète. Comme l'action de $A^\times_\mathfrak{p}$ est continue pour ces deux topologies, ce sont des modules pour l'algèbre $\Lambda := \mathcal{O}[\![A^\times_\mathfrak{p}]\!]$, respectivement compact et discret. Comme $A^\times_\mathfrak{p}$ est topologiquement engendré par un nombre infini de variables, on a l'isomorphisme

$$\Lambda \cong \mathcal{O}\left[\frac{\mathbb{Z}}{(q^d-1)\mathbb{Z}}\right][\![T_1, T_2, \ldots]\!],$$

où on fait correspondre à chaque $T_i + 1$ un générateur $1 + z_i$ de $1 + \pi A_\mathfrak{p}$. Ces deux espaces ne contiennent pas seulement les formes de poids k et niveau premier à $\mathfrak{p}$, mais plusieurs formes avec niveau en $\mathfrak{p}$ très profond (quitte à prendre une extension de $A_\mathfrak{p}$ assez ramifiée). Soit P_k le noyau du morphisme $\mathcal{O}$-linéaire défini comme suit sur les monômes :

$$\begin{array}{rccc} [k]: & \Lambda & \longrightarrow & \mathcal{O} \\ & z & \mapsto & z^k \end{array}.$$

On peut voir $\Lambda_\infty := \mathcal{O}[[1 + \pi A_\mathfrak{p}]]$ comme un sous-anneau des fonctions continues de $\mathbb{Z}_p$ vers $\mathcal{O}$; plus précisément on rappelle que par le théorème de Mahler toute fonction continue f sur $\mathbb{Z}_p$ peut s'écrire comme une série

$$f(s) = \sum_{j=0}^{\infty} a_j(f) \binom{s}{j},$$

où $\binom{s}{n}$ sont les coefficients binômiaux polynômiaux en s. On a le morphisme d'algèbres :

$$\begin{array}{ccc} \mathcal{O}[\![1 + \pi A_\mathfrak{p}]\!] & \longrightarrow & \mathcal{C}(\mathbb{Z}_p, \mathcal{O}) \subset \mathcal{O}\left[\binom{s}{1}, \binom{s}{2}, \ldots\right] \\ 1 + z & \mapsto & (1+z)^s = \sum_{j=0}^{\infty} \binom{s}{j} z^j \end{array}. \tag{2}$$

On remarque que les polynômes sont denses dans les fonctions continues sur $A^\times_\mathfrak{p}$ [dS16, Corollary 1.4] et que les entiers positifs dans une classe de congruence modulo $q^d - 1$ fixée sont denses dans $\mathbb{Z}_p$; on en déduit que les idéaux P_k sont Zariski denses dans Λ et que le morphisme ci-dessus est injectif.

Remarque 3.2. A priori Λ_∞ est un anneau topologique pour la topologie induite par l'idéal maximal. Si l'on impose sur $\mathcal{C}(\mathbb{Z}_p, \mathcal{O})$ la topologie π-adique induite par la valuation $v_\pi(f) = \min_{s \in \mathbb{Z}_p} v_\pi(f(s))$, le morphisme d'algèbres ci-dessus est continu. Dans $\mathcal{C}(\mathbb{Z}_p, \mathcal{O})$, on voit que π divise l'image de T_i mais cette divisibilité n'est pas valable dans Λ_∞.

On donne deux lemmes très utiles :

Lemme 3.3. Pour tout poids k, on a

$$\mathrm{H}^0(\overline{M}^{\mathrm{ord}}_{\mathfrak{n},m},\omega^k)=\bigcup_l \frac{\mathrm{H}^0(\overline{M}_{\mathfrak{n},m},\omega^{k+l(q^d-1)})}{\mathrm{Ha}^l}.$$

Démonstration. Il suffit de remarquer que le faisceau ω^{q^d-1} est trivialisé par Ha sur $\overline{M}^{\mathrm{ord}}_{\mathfrak{n},m}$. □

Lemme 3.4. Pour tout poids k, on a le changement de base

$$\mathrm{H}^0(\overline{M}^{\mathrm{ord}}_{\mathfrak{n},m},\omega^k)=\mathrm{H}^0(\overline{M}^{\mathrm{ord}}_{\mathfrak{n}},\omega^k)\otimes\mathcal{O}/\mathfrak{p}^m.$$

Démonstration. Soit π une uniformisante de $\mathcal{O}$; on a une suite exacte de faisceaux

$$0\longrightarrow\omega^k\xrightarrow{\times\pi^m}\omega^k\longrightarrow\omega^k\otimes A_{\mathfrak{p}}/\mathfrak{p}^m\to 0.$$

Pour conclure, il suffit de prendre la suite exacte longue en cohomologie et d'utiliser que ω^k est un faisceau cohérent sur un schéma affine. □

On a la proposition suivante, à comparer avec [Hid02, Corollary 2.3].

Proposition 3.5. La flèche naturelle

$$\bigoplus_k \mathcal{M}_k\to V$$

a image dense.

Démonstration. Soit $\overline{M}_{\mathfrak{n}}$ la variété de Drinfeld compactifiée sur $\mathcal{O}$. Comme $\mathcal{M}_k$ est de type fini sur $\mathcal{O}$, on a la suite exacte suivante

$$0\to\mathrm{H}^0(\overline{M}_{\mathfrak{n}},\omega^k)\otimes\mathcal{O}/\mathfrak{p}^m\to\mathrm{H}^0(\overline{M}_{\mathfrak{n},m},\omega^k)\to\mathrm{H}^1(\overline{M}_{\mathfrak{n}},\omega^k)[\mathfrak{p}^m]\to 0.$$

Mais le terme de droite est fini, car $\mathrm{H}^1(\overline{M}_{\mathfrak{n}},\omega^k)$ est un module de type fini. Donc on a

$$\varprojlim_m \mathrm{H}^0(\overline{M}_{\mathfrak{n}},\omega^k)\otimes\mathcal{O}/\mathfrak{p}^m\to\mathrm{H}^0(\overline{M}_{\mathfrak{n}},\omega^k)$$

et il suffit de démontrer que tout $f\in\mathcal{O}_{\mathrm{Ig}_{n,m}}$ est image d'une forme classique pour m assez grand.

Comme les fonctions algébriques sur $1+\mathfrak{p}A_{\mathfrak{p}}$ sont denses dans les fonctions analytiques, on a que chaque $f\in\mathcal{O}_{\mathrm{Ig}_{n,m}}$ est une somme de f_κ, où l'on écrit seulement κ pour indiquer l'usage d'un caractère de $1+\mathfrak{p}A_{\mathfrak{p}}$ dans $\mathbb{C}_{\mathfrak{p}}^\times$ du type $z\mapsto z^\kappa$, avec $\kappa\in\mathbb{Z}_p$. Chaque f_κ est donc une section de ω^κ sur $\overline{M}^{\mathrm{ord}}_{\mathfrak{n},m}$ et on a vu qu'on peut l'écrire comme g/Ha^l. Par le lemme 2.17 il existe une puissance de l'invariant de Hasse assez grande pour que $\mathrm{Ha}^{l'}$ soit identiquement 1 sur $\mathcal{O}_{\mathrm{Ig}_{n,m}}$; on multiplie au numérateur et au dénominateur f_κ par $\mathrm{Ha}^{l'-l}$ et on obtient $f_\kappa=g\mathrm{Ha}^{l'-l}/\mathrm{Ha}^{l'}=g\mathrm{Ha}^{l'-l}$ qui est une forme modulaire de Drinfeld classique. □

Corollaire 3.6. L'espace V coïncide avec l'espace des formes modulaires de Drinfeld $\mathfrak{p}$-adiques de [Hatb, 4.6] en rang 2.

3.2. **L'opérateur U_π.** Pour toute matrice g dans $\mathrm{GL}_r(\widehat{A})$ et niveau K, suivant [Pin13, Proposition 4.11], on peut définir un morphisme fini

$$J_g:\overline{M}_{g^{-1}Kg}\to\overline{M}_K.$$

Comme dans [Pin13, (6.9)], on définit donc l'opérateur de Hecke

$$\mathrm{T}_g^\circ:\mathrm{H}^0(\overline{M}_K,\omega^k)\to\mathrm{H}^0(\overline{M}_K,\omega^k),$$

qui dépend uniquement de la double classe $[KgK]$. On remarque que dans *loc. cit.* cet opérateur est noté T_g, mais comme dans la suite on devra renormaliser les opérateurs de

Hecke en $\mathfrak{p}$, on réserve la notation T_g pour les opérateurs normalisés. Ce morphisme est induit par la correspondance

$$\overline{M}_K \xleftarrow{J_1} \overline{M}_{g^{-1}Kg\cap K} \xrightarrow{J_g} \overline{M}_K$$

en utilisant [Pin13, (6.4)]. Comme la multiplication à gauche par g induit une bijection

$$g^{-1}Kg \cap K\backslash K \leftrightarrow K\backslash KgK,$$

on peut aussi écrire

$$\mathrm{T}_g^\circ f = \sum_{g'\in K\backslash KgK} J_{g'}^* f.$$

On s'intéresse au cas où g est la matrice diagonale $[1,\pi,\dots,\pi]$. Il faut considérer deux cas de figure : le premier est quand le niveau K est premier à $\mathfrak{p}$; dans ce cas, on a un opérateur T_π°. Le deuxième est quand $K = K_0(\mathfrak{p})$ ou $K = K_1(\mathfrak{p})$ où l'on a :

$$K_0(\mathfrak{p}) := \left\{ g \in \mathrm{GL}_r(\widehat{A}) | g \equiv \begin{pmatrix} *_{1\times 1} & *_{1\times(r-1)} \\ 0 & *_{(r-1)\times(r-1)} \end{pmatrix} \bmod \mathfrak{p} \right\};$$

$$K_1(\mathfrak{p}) := \left\{ g \in \mathrm{GL}_r(\widehat{A}) | g \equiv \begin{pmatrix} 1 & *_{1\times(r-1)} \\ 0 & *_{(r-1)\times(r-1)} \end{pmatrix} \bmod \mathfrak{p} \right\};$$

dans ce cas on a un opérateur U_π°. On va montrer qu'un opérateur U_π peut être défini même sur la variété sans niveau en $\mathfrak{p}$, quitte à se restreindre au lieu ordinaire.

En fait, sur le lieu ordinaire, on peut définir une correspondance

$$M_{\mathfrak{n}}^{\mathrm{ord}} \xleftarrow{p_1} \mathfrak{C}_v \xrightarrow{p_2} M_{\mathfrak{n}}^{\mathrm{ord}}$$

où :

— les points de $\mathfrak{C}_v$ sont des couples (x,H) pour $x \in M_{\mathfrak{n}}^{\mathrm{ord}}$ et H un sous-groupe étale de $\varphi_x[\mathfrak{p}]$ qui est un supplémentaire de $\varphi[\mathfrak{p}]^\circ$;
— $p_1(x,H) = x$;
— $p_2(x,H) = x'$, pour x' tel que $(E_{x'},\varphi) = (E_x/H,\varphi)$.

Le projection p_1 est isomorphisme et p_2 est morphisme fini et étale (car on quotiente par un sous-groupe étale).

On peut donc définir l'opérateur

$$\mathrm{U}_\pi(f)(x,\gamma) := \frac{1}{\pi^{r-1}} \sum_H f(p_2(x,H),\gamma'), \quad f \in \mathcal{O}_{\mathrm{Ig}}.$$

La structure de niveau γ' est définie naturellement par composition, cf. [Hid02, pp. 36] (elle dépend quelque peu du choix de l'uniformisante π).

Lemme 3.7. L'opérateur U_π est bien défini sur $\mathcal{O}_{\mathrm{Ig}_{n,m}}$; de plus, il envoie $\mathcal{O}_{\mathrm{Ig}_{n,m}}[k]$ vers $\mathcal{O}_{\mathrm{Ig}_{n-1,m}}[k]$.

Démonstration. Pour montrer qu'il s'étend au bord, on remarque que sur $\mathcal{O}_{\mathrm{Ig}_{0,m}}$ l'opérateur U_π coïncide, au facteur de normalisation près, avec l'opérateur U_π° défini par Pink :

$$\mathrm{U}_\pi^\circ(f)(x,\gamma) := \sum_{g'\in g^{-1}K_0(\mathfrak{p})g\backslash K_0(\mathfrak{p})} J_{gg'}^* f(x),$$

pour $g = [1,\pi,\dots,\pi]$.

On définit donc

$$\mathrm{U}_\pi(f)(x,\gamma) := \frac{1}{\pi^{r-1}} \sum_{g'} f(J_{gg'}^{-1}(x),\gamma'), \quad f \in \mathcal{O}_{\mathrm{Ig}}.$$

pour g' dans $[1,\pi,\dots,\pi]^{-1}K_0(\mathfrak{p})[1,\pi,\dots,\pi]\backslash K_0(\mathfrak{p})$ et

$$J_{g'} : \overline{M}_{g'^{-1}K(\mathfrak{n})g'} \to \overline{M}_{\mathfrak{n}}.$$

Fibre par fibre sur l'ouvert $M_{\mathfrak{n}}^{\mathrm{ord}}$, l'isogénie universelle est donnée par $y_i \mapsto y_i^{q^d} + \pi y_i = (y_i^{q^d-1} + \pi) y_i$, pour $i = 1, \dots, r-1$. La trace de $y_i^{q^d}$ est zéro, et il reste donc terme par terme pour chacun des indices $1 \leqslant i \leqslant r-1$ une contribution qui est dans l'idéal (π). Il s'ensuit que l'image de la trace est contenue dans l'idéal engendré par π^{r-1}.

De plus, l'opérateur ainsi défini envoie $\mathcal{O}_{\mathrm{Ig}_{n,m}}[k]$ sur $\mathcal{O}_{\mathrm{Ig}_{n-1,m}}[k]$. Pour le démontrer, il faut vérifier l'égalité des doubles classes :

$$K_0(\mathfrak{p}^n)[1, \pi, \dots, \pi] K_0(\mathfrak{p}^n) = K_0(\mathfrak{p}^n)[1, \pi, \dots, \pi] K_0(\mathfrak{p}^{n-1}).$$

Le même argument de théorie de groupes que dans [Pil12, dernière ligne de la preuve de la prop. 5.3], cf. [Hid02, Eq. (2.7), p.18] fonctionne aussi bien dans le cas de corps de fonctions. □

Remarque 3.1. En fort contraste avec la théorie classique, on ne s'intéresse ici qu'à un seul opérateur de Hecke en $\mathfrak{p}$. Ceci est dû au fait que le polynôme de Hecke se factorise comme $X^{r-1}(X - a_{\mathfrak{p}})$, car tous les autres coefficients sont divisibles par la norme de $\mathfrak{p}$ qui est nulle dans A, et par conséquent il y a au plus une seule racine non-nulle.

On peut voir que T_π est induit aussi par une correspondance

$$\overline{M}_{\mathfrak{n}} \xleftarrow{q_1} \mathfrak{C}_{\mathfrak{p}} \xrightarrow{q_2} \overline{M}_{\mathfrak{n}}$$

qui paramétrise les sous-groupes de rang $r-1$ de la $\mathfrak{p}$-torsion d'un module de Drinfeld. On peut donc écrire

$$\mathrm{T}_\pi : \mathrm{H}^0(\overline{M}_{\mathfrak{n}}, \omega^k) \to \mathrm{H}^0(\mathfrak{C}_{\mathfrak{p}}, q_2^* \omega^k) \xrightarrow{\iota(k)} \mathrm{H}^0(\mathfrak{C}_{\mathfrak{p}}, q_1^* \omega^k) \xrightarrow{\frac{1}{\pi^{r-1}}\mathrm{Trace}} \mathrm{H}^0(\overline{M}_{\mathfrak{n}}, \omega^k),$$

où $\iota(k)$ est l'isomorphisme (défini seulement sur $F_{\mathfrak{p}}$!) entre $q_2^*\omega^k$ et $q_1^*\omega^k$.

Lemme 3.8. Si $k \geqslant r$, alors on a $\mathrm{T}_\pi \equiv \mathrm{U}_\pi \bmod \mathfrak{p}$. En particulier, T_π préserve la structure entière.

Démonstration. On peut calculer explicitement les matrices qui interviennent dans la décompo–sition des doubles classes associées à T_π et U_π comme dans [Hid95, pp. 467-468] ; on donnera plutôt une preuve géométrique.

On va montrer que $\mathrm{T}_\pi f(x) \equiv \mathrm{U}_\pi f(x) \bmod \mathfrak{p}$ pour toute forme modulaire de Drinfeld $f \in \mathcal{M}_k$ et pour tout $x \in M_{\mathfrak{n},1}^{\mathrm{ord}}$; par densité du lieu ordinaire, cela suffira. On rappelle que T_π (resp. U_π) est défini via une correspondance (q_1, q_2) (resp. (p_1, p_2)) et que pour tout point x dans $M_{\mathfrak{n}}$, $p_2(p_1^{-1}(x))$ est le sous-ensemble de $q_2(q_1^{-1}(x))$ des couples (φ_x, H) où H est un sous-groupe de $\varphi_x[\mathfrak{p}]$ qui est en somme directe avec $\varphi_x[\mathfrak{p}]^\circ$ (et donc H est étale). Pour montrer l'égalité désirée modulo $\mathfrak{p}$, il suffit de montrer que $f(\varphi_x, H) \in \mathfrak{p}$ pour tout (φ_x, H) dans $q_2(q_1^{-1}(x))$ qui n'est pas dans $p_2(p_1^{-1}(x))$.

Soit donc $H \subset \varphi[\mathfrak{p}]$, où $\varphi[\mathfrak{p}]$ est la $\mathfrak{p}$-torsion du module de Drinfeld associé à x et on suppose que H intersecte $\varphi_x[\mathfrak{p}]^\circ$. On remarque que $\varphi_x[\mathfrak{p}]^\circ$ est le sous-groupe canonique de $\varphi[\mathfrak{p}]$, c'est-à-dire l'unique relèvement du noyau de Frobenius modulo $\mathfrak{p}$ dans $\varphi[\mathfrak{p}]$ (il suffit de vérifier la propriété pour le module de Carlitz-Hayes). Soit ι l'isogénie entre (E_x, φ) et $(E_x/H, \varphi)$, on veut donc étudier le morphisme $\iota(k)$ entre $q_2^*\omega^k$ et $q_1^*\omega^k$ en niveau entier. On remarque que ι se factorise par

$$(E_x, \varphi) \xrightarrow{\iota'} (E_x/\varphi_x[\mathfrak{p}]^\circ, \varphi) \to (E_x/H, \varphi)$$

Comme le premier morphisme est le Frobenius modulo $\mathfrak{p}$, au niveau du faisceau des différentielles on voit que $\iota'^*(\omega_{E_x/\varphi_x[\mathfrak{p}]^\circ}) \subset \pi\omega_{E_x}$. On voit donc que $\iota^* q_2^*\omega$ est contenu dans $\pi q_1^*\omega$ et par conséquent $\iota^* p_2^* \omega^k$ est contenu dans $\pi^k p_1^* \omega^k$, et ceci entraîne que $f((E_x/H, \varphi)) \in \pi^k$. Donc si $k \geqslant r$ (on rappelle qu'on normalise en divisant par π^{r-1}) on a que modulo $\mathfrak{p}$ la somme qui définit T_π porte seulement sur les sous-groupes qui n'intersectent pas $\varphi_x[\mathfrak{p}]^\circ$ (qui sont les sous-groupes étales), comme pour U_π. □

Lemme 3.9. Si k est assez grand ($\geqslant r(q^d+1)$ suffit), alors $\mathrm{T}_\pi f(x) \equiv 0 \bmod \mathfrak{p}$ pour tout $f \in \mathcal{M}_k$ et $x \in \overline{M}_{\mathfrak{n},\mathfrak{p}} \backslash \overline{M}^{\mathrm{ord}}_{\mathfrak{n},\mathfrak{p}}$.

Démonstration. Il suffira de montrer la nullité pour x un point de $M_{\mathfrak{n},\mathfrak{p}_w}(\overline{\kappa}_\mathfrak{p})$, pour w la plus grande strate non-ordinaire. Par le même raisonnement que dans la preuve du lemme précédent, on voit que $\iota^* p_2^* \omega^k$ est contenu dans $\pi^{k\epsilon} p_1^* \omega^k$ pour un certain $1 > \epsilon > 0$ le degré du groupe de $\mathfrak{p}$-Barsotti–Tate avec $A/\mathfrak{p}$-action de dimension 1 et hauteur 2.* □

Lemme 3.10. Pour tout $f \in \mathcal{M}_k$ on a

$$\mathrm{U}_\pi(f \cdot \mathrm{Ha}) \equiv \mathrm{Ha} \cdot \mathrm{U}_\pi(f) \bmod \mathfrak{p}.$$

Démonstration. Il suffit de remarquer que $\mathrm{Ha}(E,\varphi) = \mathrm{Ha}(E/H,\varphi)$ pour (E,φ) ordinaire et H étale. □

3.3. **Théorème d'indépendance du poids et théorème de contrôle vertical.** On a maintenant tous les outils pour se mettre à pied d'oeuvre et construire la théorie de Hida pour les formes modulaires de Drinfeld. On commence par définir les formes ordinaires :

Définition 3.11. Une forme modulaire de Drinfeld $\mathfrak{p}$-adique est ordinaire si elle est propre pour U_π et la valeur propre correspondante est une unité $\mathfrak{p}$-adique. Une forme modulaire de Drinfeld classique est ordinaire si son image par (1) est ordinaire.

On remarque que si $\mathrm{T}_\pi f = a_\pi f$ avec f de poids supérieur ou égal à r et a_π une unité, alors f est ordinaire par le lemme 3.8.

Lemme 3.12. Il existe un projecteur ordinaire $e := \varinjlim \mathrm{U}_\pi^{n!}$ sur les espaces $\mathcal{V}$ et V.

Démonstration. Soit f une forme classique dans $\mathcal{M}_k$. Par [Hid93, Lemma 7.2.1] la limite $\mathrm{U}_\pi^{n!} f$ existe. Soit f un élément de $\mathcal{V}$. Par la proposition 3.5 il y a $f_{k_1}, \ldots, f_{k_j}$ tels que $f = \sum_{i=0}^{j} f_{k_i}$ et on peut donc définir la limite $\mathrm{U}_\pi^{n!} f$. □

Soient donc $\mathcal{V}^{\mathrm{ord}} := e\mathcal{V}$ et $V^{\mathrm{ord}} := eV$ les sous-modules des formes modulaires ordinaires.

Théorème 3.13. Soit $k \gg 0$ et χ tel que $\chi(\zeta) = \zeta^k$ pour toutes les racines q^d-1-ème de l'unité ζ, on a alors

$$\mathcal{M}_k^{\mathrm{ord}} = V[\chi - k]^{\mathrm{ord}}.$$

Démonstration. La limite sur m des morphismes (1) est injective. Pour la surjectivité, soit f dans $V[\chi-k]^{\mathrm{ord}}$. Si $k \geqslant r$ alors par le lemme 3.8 on a $\mathrm{T}_\pi \equiv \mathrm{U}_\pi \bmod \mathfrak{p}$ et f descend à une section de ω^k sur $\overline{M}^{\mathrm{ord}}_{\mathfrak{n}}$; on voit par le lemme 3.3 que f est une forme classique divisée par l'invariant de Hasse. Mais par le lemme 2.17, la multiplication par l'invariant de Hasse induit un isomorphisme sur les formes ordinaires, donc f est une vraie forme modulaire classique. □

On peut donc démontrer que le nombre des formes ordinaires de poids fixé est borné indépendamment du poids :

Théorème 3.14. Il existe une constante C telle que

$$\mathrm{rk}_{\mathcal{O}} \mathcal{M}_k^{\mathrm{ord}} < C$$

pour tout $k \geqslant 0$.

Démonstration. Le lemme 3.10 nous dit que la multiplication par l'invariant de Hasse nous donne une injection

$$\mathrm{H}^0(\overline{M}_{\mathfrak{n},\mathfrak{p}}, \omega^k)^{\mathrm{ord}} \longrightarrow \mathrm{H}^0(\overline{M}_{\mathfrak{n},\mathfrak{p}}, \omega^{k+q^d-1})^{\mathrm{ord}}.$$

∗. En fait, on peut prendre $\epsilon = 1/(q^d+1)$.

On démontre que cette flèche est surjective. Soit f une forme ordinaire dans $\mathrm{H}^0(\overline{M}_{\mathfrak{n},\mathfrak{p}}, \omega^{k+q^d-1})$. Par le lemme 3.3 on a que f est divisible par Ha si k est assez grand. On a donc pour k assez grand

$$\mathrm{H}^0(\overline{M}_{\mathfrak{n},\mathfrak{p}}, \omega^{k})^{\mathrm{ord}} \cong \mathrm{H}^0(\overline{M}_{\mathfrak{n},\mathfrak{p}}, \omega^{k+q^d-1})^{\mathrm{ord}}. \tag{3}$$

Par le lemme 3.4 on peut relever cet isomorphisme sur $A_{\mathfrak{p}}$. □

Théorème 3.15. Le module $\mathcal{V}^{\mathrm{ord},*} = \mathrm{Hom}_{A_{\mathfrak{p}}}(\mathcal{V}^{\mathrm{ord}}, F_{\mathfrak{p}}/A_{\mathfrak{p}})$ est de type fini sur Λ, et libre sur Λ_∞.

Démonstration. Fixons un caractère χ de $(A/\mathfrak{p})^\times$; par abus de notation, on utilise le même symbole pour son relèvement de Teichmüller. Soit $d(\chi)$ le rang sur $\mathcal{O}$ de $\mathcal{V}^{\mathrm{ord},*} \otimes_\chi \mathcal{O}$. Comme $\mathcal{V}^{\mathrm{ord}}$ est discret et limite de modules finis, son dual de Pontryagin est compact et profini. Par le lemme de Nakayama topologique [BH97, Corollary], on a une flèche surjective

$$B : \bigoplus_{\chi} \Lambda_\infty^{\oplus d(\chi)} \twoheadrightarrow \mathcal{V}^{\mathrm{ord},*}.$$

Le théorème 3.14 nous dit que $B \otimes_{\Lambda_\infty,k} \mathcal{O}$ est un isomorphisme (où $k : \Lambda_\infty \to \mathcal{O}$ est le morphisme induit par le caractère de $1 + \pi A_{\mathfrak{p}}$ qui envoie z dans z^k). Comme ces caractères sont denses pour la topologie de Zariski, on en déduit que B est un isomorphisme. Le restant du théorème suit. □

Soit donc $\mathcal{M} := \mathrm{Hom}_\Lambda(\mathcal{V}^{\mathrm{ord},*}, \Lambda)$ le module des familles des formes modulaires de Drinfeld ordinaires. Le théorème suivant résume tout ce qu'on a su prouver jusqu'à maintenant :

Théorème 3.16. On a construit :
- un espace de formes modulaires $\mathfrak{p}$-adiques $\mathcal{V}$ muni d'un projecteur ordinaire ;
- un module de familles de Hida de formes modulaires de Drinfeld $\mathcal{M}$ de type fini sur Λ et libre sur Λ_∞ tel que, si k est assez grand (i.e., $k \geqslant r(q^d+1)$) et χ est tel que $\chi(\zeta) = \zeta^k$ pour toutes les racines q^d-1-ème de l'unité ζ, on a l'isomorphisme :

$$\mathcal{M} \otimes_{\Lambda,\chi^{-1}k} \mathcal{O} \xrightarrow{\cong} \mathcal{M}_k^{\mathrm{ord}}$$

qui est équivariant pour l'action de l'algèbre de Hecke engendrée par les T_g et U_π.

En particulier, on a une Λ-algèbre $\mathbb{T}$ engendrée par l'image des opérateurs de Hecke T_g° dans $\mathrm{End}_\Lambda(\mathcal{M})$, pour g de determinant premier à $\mathfrak{np}$. Cette algèbre paramétrise les systèmes de valeurs propres des formes modulaires ordinaires.

Proposition 3.17. L'algèbre de Hecke $\mathbb{T}$ est une algèbre commutative et finie sur Λ_∞.

Démonstration. La commutativité de $\mathbb{T}$ peut être démontrée comme pour GL_n sur un corps de nombres par l'astuce de Gelfand, voir par exemple [Gol15, Theorem 3.10.10] ; on rappelle rapidement sa stratégie pour faciliter la lecture. On choisit g_1 et g_2 de déterminant premier à $\mathfrak{np}$ et on suppose qu'on a deux places $\mathfrak{q}_1$ et $\mathfrak{q}_2$ telles que $\det(g_1 g_2)$ a support dans $\mathfrak{q}_1\mathfrak{q}_2$. On considère l'algèbre des fonctions sur le groupe produit $\mathrm{GL_r}(F_{\mathfrak{q}_1})\mathrm{GL_r}(F_{\mathfrak{q}_2})$ qui sont localement constantes, à support compact et bi-invariant par $\mathrm{GL_r}(A_{\mathfrak{q}_1})\mathrm{GL_r}(A_{\mathfrak{q}_2})$, avec la convolution comme produit. Cette algèbre est donc engendrée par les fonctions caractéristiques de

$$\mathrm{GL_r}(A_{\mathfrak{q}_1})\mathrm{GL_r}(A_{\mathfrak{q}_2}) g \mathrm{GL_r}(A_{\mathfrak{q}_1})\mathrm{GL_r}(A_{\mathfrak{q}_2}).$$

Par la décomposition de Cartan, on peut supposer que g est la matrice diagonale de la forme $[\pi_1^{a_1}\pi_2^{b_1},\dots,\pi_1^{a_r}\pi_2^{b_r}]$, avec π_i un générateur de $\mathfrak{q}_i$. L'inverse transposée définit une anti-involution de cette algèbre qui est l'identité sur ces générateurs ; cette algèbre est donc commutative. Ceci nous dit que

$$\begin{aligned}&\mathrm{GL_r}(A_{\mathfrak{q}_1})\mathrm{GL_r}(A_{\mathfrak{q}_2})g_1\mathrm{GL_r}(A_{\mathfrak{q}_1})\mathrm{GL_r}(A_{\mathfrak{q}_2})\mathrm{GL_r}(A_{\mathfrak{q}_1})\mathrm{GL_r}(A_{\mathfrak{q}_2})g_2\mathrm{GL_r}(A_{\mathfrak{q}_1})\mathrm{GL_r}(A_{\mathfrak{q}_2}) =\\ =\ &\mathrm{GL_r}(A_{\mathfrak{q}_1})\mathrm{GL_r}(A_{\mathfrak{q}_2})g_2\mathrm{GL_r}(A_{\mathfrak{q}_1})\mathrm{GL_r}(A_{\mathfrak{q}_2})\mathrm{GL_r}(A_{\mathfrak{q}_1})\mathrm{GL_r}(A_{\mathfrak{q}_2})g_1\mathrm{GL_r}(A_{\mathfrak{q}_1})\mathrm{GL_r}(A_{\mathfrak{q}_2}) =\\ &=\bigcup_w \mathrm{GL_r}(A_{\mathfrak{q}_1})\mathrm{GL_r}(A_{\mathfrak{q}_2})w\mathrm{GL_r}(A_{\mathfrak{q}_1})\mathrm{GL_r}(A_{\mathfrak{q}_2}).\end{aligned}$$

Ici, les même calculs que dans *loc. cit.* appliqués à la formule pour la composition des opérateurs de Hecke [Pin13, Proposition 6.10] montrent que les w sont les matrices qui interviennent (avec multiplicité) dans l'expression de $\mathrm{T}^\circ_{g_1}\mathrm{T}^\circ_{g_2}$ ou $\mathrm{T}^\circ_{g_2}\mathrm{T}^\circ_{g_1}$ comme somme de tirés-en-arrière par J_w^* et ceci implique la commutativité de $\mathrm{T}^\circ_{g_1}$ et $\mathrm{T}^\circ_{g_2}$.

On remarque que le morphisme (3) est Hecke équivariant, envoyant T°_g de poids k dans T°_g de poids $k+q^d-1$. Comme l'algèbre de Hecke en poids fixé k est de type fini, disons engendré par $\mathrm{T}^\circ_{g_1}\dots,\mathrm{T}^\circ_{g_s}$, il s'ensuit que l'algèbre de Hecke en poids fixé $k+q^d-1$ est engendré par $\mathrm{T}^\circ_{g_1}\dots,\mathrm{T}^\circ_{g_s}$. Par recollement via les poids, on obtient que l'algèbre de Hecke de $\mathcal{V}^{\mathrm{ord},*}[\chi]$ étant par définition la limite inverse des algèbres de Hecke en poids $k+(q^d-1)i$, est aussi de type fini car elle est engendrée par les images de $\mathrm{T}^\circ_{g_1}\dots,\mathrm{T}^\circ_{g_s}$. Par le théorème de Cayley–Hamilton, chaque T°_g dans $\mathbb{T}$ satisfait un polynôme unitaire à coefficients dans Λ_∞, ce qui nous permet de conclure. □

4. Familles de pente finie

Dans la section présente, nous généralisons la construction des familles de pente finie pour U_π, c'est-à-dire que les formes modulaires de Drinfeld ici sont propres pour l'action de U_π de valeur propre qui n'est ni zéro (pente infinie) ni une unité π-adique (pente zéro). Exactement comme pour les formes modulaires elliptiques, il faut se restreindre à un ensemble plus petit de formes modulaires π-adiques qui consiste en les formes qui peuvent être prolongées sur un voisinage strict du lieu ordinaire. Comme la tour d'Igusa que nous avons construite au-dessus du lieu ordinaire n'est pas surconvergente, il est nécessaire d'utiliser un objet alternatif. Nous montrons, suivant la construction de Katz du sous-groupe canonique pour les courbes elliptiques, que si un module de Drinfeld n'est pas trop loin d'être ordinaire sa $\mathfrak{p}$-torsion admet un sous-groupe canonique, c'est-à-dire un unique sous-groupe de la $\mathfrak{p}$-torsion qui relève le noyau du Frobenius modulo $\mathfrak{p}$. À l'aide de la flèche de Hodge–Tate–Taguchi, nous construisons un sous-faisceau du module des différentielles ω et un torseur $\mathcal{F}$ qui jouera le rôle de la tour d'Igusa. Hélas, comme c'est un torseur en géométrie rigide, il n'est plus loisible de considérer toute forme de poids quelconque dans $\mathrm{Spec}(\Lambda)$; nous devons nous restreindre aux poids *analytiques*, et ceux-ci sont paramétrés par $\mathbb{Z}_p$. Nous définissons donc de manière appropriée l'espace des poids analytiques $\underline{\mathbb{Z}_p}$ et, à l'aide du torseur $\mathcal{F}$, nous définissons par la suite des familles de formes modulaires de Drinfeld à valeur dans l'espace des fonctions continues sur $\mathbb{Z}_p$. En adaptant des idées de Gouvêa–Mazur et Buzzard, nous pouvons finalement construire des familles propres pour l'algèbre de Hecke et de pente finie pour U_π.

Avant de débuter, rappellons des définitions de géométrie adique tirées de [Hub93, Hub94].

Définition 4.1. Soit A un anneau topologique ;
- A est adique s'il est complet et s'il existe un idéal I tel que les $\{I^n\}_{n\geqslant 0}$ forment un système de voisinage de 0 ;
- A est f-adique s'il contient un sous-anneau A^+ qui est adique (pour la topologie induite) et pour lequel on peut choisir l'idéal I d'engendrement fini ;

— A est de Tate s'il est f-adique et si de plus il contient une unité topologiquement nilpotente ;
— A est uniforme si l'ensemble des éléments à puissance bornée est borné dans A ;
— un couple (A, A^+) avec A de Tate et A^+ ouvert, borné, et intégralement clos dans A est appelé : anneau de Tate affinoïde.

Soit (A, A^+) un anneau de Tate affinoïde. On lui associe un espace adique $\mathrm{Spa}(A, A^+)$ qui est un espace topologique dont les points sont des (classes d'isomorphismes de) valuations sur (A, A^+). Il est muni d'un pré-faisceau $(\mathcal{O}_X, \mathcal{O}_X^+)$.

Définition 4.2. Soit (A, A^+) un anneau de Tate affinoïde, $X = \mathrm{Spa}(A, A^+)$ l'espace adique associé et U un sous-ensemble de X :
— on dit que U est un ouvert rationnel s'il existe $s_1, \dots, s_n, t_1, \dots, t_n$ dans A^+, tels que $t_i A^+$ est ouvert et
$$U = \bigcap_i \{\mathfrak{v} \in X || t_j(\mathfrak{v})| \leqslant |s_i(\mathfrak{v})| \neq 0 \text{ pour } j = 1, \dots, n\}.$$
— on dit que X est stablement uniforme si $\mathcal{O}_X(U) = A\langle \frac{t_i}{s_i} \rangle$ est uniforme pour tout ouvert rationnel U.

Remarque 4.3. Par définition, tous les points de X sont analytiques, voir [Hub94, §3].

4.1. **La théorie du sous-groupe canonique.** Notons $\overline{\mathfrak{M}}_{\mathfrak{n}}$ la complétion formelle de la variété modulaire de Drinfeld compactifiée $\overline{M}_{\mathfrak{n}}$ le long de la fibre en $\mathfrak{p}$, et $\overline{M}_{\mathfrak{n}}^{\mathrm{rig}}$ sa fibre générique.

Notons $\overline{\mathfrak{M}}_{\mathfrak{n}}^{\mathrm{ord}} \subset \overline{\mathfrak{M}}_{\mathfrak{n}}$ l'ouvert formel ordinaire et $\overline{M}_{\mathfrak{n}}^{\mathrm{rig,ord}}$ sa fibre rigide. Notons
$$\mathrm{ha} : \overline{M}_{\mathfrak{n}}^{\mathrm{rig}} \longrightarrow [0, 1],$$
la valuation tronquée de l'invariant de Hasse.

Pour tout $v \in [0, 1]$, soit $\overline{M}_{\mathfrak{n}}^{\mathrm{rig}}(v) := \left\{x \in \overline{M}_{\mathfrak{n}}^{\mathrm{rig}}, \mathrm{ha}(x) \leqslant v\right\}$. Le lieu ordinaire $\overline{M}_{\mathfrak{n}}^{\mathrm{rig,ord}}$ est l'image inverse de $\{0\}$, et les $\left\{\overline{M}_{\mathfrak{n}}^{\mathrm{rig}}(v)\right\}_{v>0}$ forment un système de voisinages stricts du lieu ordinaire dans la variété rigide $\overline{M}_{\mathfrak{n}}^{\mathrm{rig}}$. Soit $\overline{\mathfrak{M}}_{\mathfrak{n}}(v)$ un modèle formel de $\overline{M}_{\mathfrak{n}}^{\mathrm{rig}}(v)$ obtenu en prenant un ouvert d'un éclatement admissible de $\overline{\mathfrak{M}}_{\mathfrak{n}}$.

Théorème 4.4. Soit $n \geqslant 1$ un entier positif.
(i) Soit $v \in \mathbb{Q} \cap [0, 1]$ tel que $v < \frac{1}{2q^{d(n-1)}}$. Sur $\overline{\mathfrak{M}}_{\mathfrak{n}}(v)$, la $\mathfrak{p}^n$-torsion du module de Drinfeld généralisé $(\overline{\mathcal{E}}, \overline{\varphi})$ a un sous-groupe canonique $C_{\overline{\mathcal{E}},n}$ de rang 1, dimension 1 et échelon n ;
(ii) Pour tout ouvert formel affine $\mathrm{Spf}(R)$ de $\overline{\mathfrak{M}}_{\mathfrak{n}}(v)$, la linéarisation du morphisme de Hodge–Tate–Taguchi
$$\mathrm{HTT} : C_{\overline{\mathcal{E}},n}^{\vee}(\overline{R}) \otimes \overline{R}/\pi^n\overline{R} \to \omega_{C_{\overline{\mathcal{E}},n}} \otimes \overline{R}/\pi^n\overline{R}$$
a co-noyau tué par π^w, pour tout $w \in \mathbb{Q}_{>0}$ tel que $w \geqslant \frac{v}{q^d-1}$.

Démonstration. (i) On se ramène à l'étude du $A_{\mathfrak{p}}$-module de Drinfeld généralisé formel associé à $(\overline{\mathcal{E}}, \overline{\varphi})$, comme défini par [Ros03, §4] (il faut remarquer que la définition n'utilise pas que le rang du module est fixé), et donc au polygone de Newton de la série associé à $\varphi_\pi(X)$; exactement les mêmes calculs explicites que dans Katz [Kat73, §3.7-3.10] (cf. [Kas04, §10] qui traite les modules stricts) s'appliquent dans notre situation. On commence par se réduire au cas où la loi de groupe est telle que $\phi_\zeta(Z) = \zeta Z$ pour tout $\zeta \in \mathbb{F}_{q^d}^{\times}$ grâce à [Haz78, Theorem 21.5.6]. † On change donc la variable du $A_{\mathfrak{p}}$-module de

†. Voir [KS, Sec. 3.2] pour un résultat donnant explicitement la série $g(X)$ du changement de base. Notons d'ailleurs que $g(X) \equiv -X \bmod X^2$.

Drinfeld généralisé formel et on écrit

$$\varphi_\pi(Z) = \pi Z + a_d Z^{q^d} + \cdots .$$

On peut donc travailler localement i.e., sur $\mathrm{Spf}(R)$, pour R une $\mathcal{O}$-algèbre plate et complète pour la topologie π-adique. Pour l'existence d'un sous-groupe canonique, il est nécessaire que $(q^d, v_\pi(a_d))$ soit un point de rupture du polygone de Newton. Une condition suffisante est que la pente de la droite entre $(1,1)$ et $(q^d, v_\pi(a_d))$ soit plus petite que la pente entre $(1,1)$ et $(q^{2d}, v_\pi(a_{2d}))$, et cette deuxième pente est minimale quand $v_\pi(a_{2d}) = 0$, voir la Figure 1 ci-bas. On a donc

$$\frac{1 - v_\pi(a_d)}{1 - q^d} > \frac{1}{1 - q^{2d}}$$

qui implique $v_\pi(a_d) < \frac{q^d}{1+q^d}$. Les mêmes calculs que dans [Kas04, Lemma 10.2] donnent donc un sous-groupe canonique dont la formation commute au changement de base. Si π est nilpotent dans R, on procède comme dans [Kas04, §10] : on construit $C_{\overline{\mathcal{E}},1}$ comme le tiré-en-arrière de $C_{\overline{\mathcal{E}},1/\mathrm{Spf}(R')}$, pour $\mathrm{Spf}(R')$ un ouvert de $\overline{\mathfrak{M}}_{\mathfrak{n}}(v)$ qui contient l'image de $\mathrm{Spf}(R)$. Donc on peut écrire, localement pour la topologie étale,

$$C_{\overline{\mathcal{E}},1} \cong \mathrm{Spec}\left(R[Z]/aZ + Z^{q^d}\right).$$

Pour voir qu'on obtient un sous-groupe de $\overline{\mathcal{E}}[\mathfrak{p}]$ et non pas seulement du module de Drinfeld formel, on procède en deux temps comme dans [Kat73] et [Kas04]. Si a_d est une unité, alors on est sur le lieu ordinaire et $C_{\overline{\mathcal{E}},1}$ est le noyau de Frobenius, et donc c'est bien un sous-groupe de $\overline{\mathcal{E}}[\mathfrak{p}]$. Pour le cas général, on se réduit à montrer que, si $G(x,y)$ est la série formelle de la multiplication dans $\overline{\mathcal{E}}[\mathfrak{p}]$, alors

$$G(x,y)^{q^d} - aG(x,y) = \sum_{0 \leqslant i,j \leqslant q^d - 1} a_{ij} x^i y^j + \cdots \equiv 0 \bmod (x^q - ax, y^{q^d} - ay).$$

Écrivons $\mathrm{Spf}(R')$ pour le tiré-en-arrière de $\mathrm{Spf}(R)$ au lieu ordinaire. Mais comme R s'injecte dans R' (comme on le voit au niveau des fonctions rigides) les a_{ij} sont nuls si et seulement s'ils sont nuls dans R' ; et on vient de se ramener ainsi au cas ordinaire, qu'on a déjà vérifié. On peut même écrire a explicitement ; comme dans [Bra13, §3.1] ou [Col05], on voit que a peut être choisi comme $\pi/\widetilde{\mathrm{Ha}}$; en particulier, ceci prouve que $C_{\overline{\mathcal{E}},1}$ est fini et plat. Ceci donne le résultat attendu en échelon 1. Les échelons supérieurs sont obtenus par itération standard, contribuant le facteur $\frac{1}{q^d}$ pour chaque itération supplémentaire, et comme $\frac{1}{2} < \frac{q^d}{1+q^d}$, on obtient la borne simplifiée sur v que nous désirions.

Comme la valuation π-adique de a dans l'équation de $C_{\overline{\mathcal{E}},1}$ est au moins $1-v$, on voit que $C_{\overline{\mathcal{E}},1}$ est bien donné par l'équation $Z^{q^d} = 0$ modulo π^{1-v}, et donc le sous-groupe canonique est bel et bien le relèvement du noyau du Frobenius (relatif à $A_{\mathfrak{p}}/\pi$).

(ii) On remarque que l'action de $A_{\mathfrak{p}}$ sur l'algèbre de Lie de $C_{\overline{\mathcal{E}},n}$ est $A_{\mathfrak{p}}$-linéaire. Donc $C_{\overline{\mathcal{E}},n}$ est un $A_{\mathfrak{p}}$-module strict au sens de [Fal02]. On commence par le cas $n = 1$. On écrit

$$C_{\overline{\mathcal{E}},1} \cong \mathrm{Spec}\left(R[Z]/aZ + Z^{q^d}\right),$$

pour $1 - v \leqslant v_{\mathfrak{p}}(a) \leqslant 1$. On voit immédiatement que $\Omega_{C_{\overline{\mathcal{E}},1}[\mathfrak{p}]/R}$ est un module libre de rang 1 sur R/a. On fixe aussi c tel que $ac^{q^d-1} = \pi$. On définit explicitement

$$C^\vee_{\overline{\mathcal{E}},n} := \mathrm{Hom}_{A_{\mathfrak{p}}}(C_{\overline{\mathcal{E}},n}, \mathrm{CH}).$$

FIGURE 1. Polygones de Newton associés à φ_π.

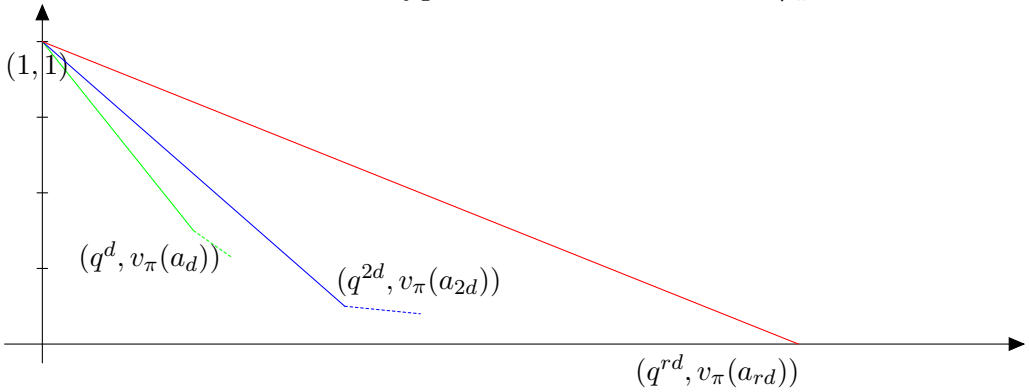

On voit donc qu'un point non-nul de $C^\vee_{\overline{\mathcal{E}},1}$ correspond à un morphisme qui envoie $Z \mapsto cZ$ avec $v_{\mathfrak{p}}(c) = \frac{1-v_{\mathfrak{p}}(a)}{q^d-1}$. L'image du morphisme de Hodge–Tate–Taguchi est donc cR/aR. Le conoyau est donc tué par un élément de valuation $v_{\mathfrak{p}}(c)$. Pour n général, on a un diagramme commutatif

$$\begin{array}{ccc} C^\vee_{\overline{\mathcal{E}},n}(\overline{R}) & \longrightarrow & \omega_{C_{\overline{\mathcal{E}},n}} \\ \downarrow & & \downarrow \\ C^\vee_{\overline{\mathcal{E}},1}(\overline{R}) & \longrightarrow & \omega_{C_{\overline{\mathcal{E}},1}} \end{array}$$

où les flèches verticales sont surjectives. Cela suffit pour conclure.

□

Muni du sous-groupe canonique, on peut définir l'opérateur U_π sur les espaces de formes surconvergentes comme la trace d'un Frobenius canonique, grosso modo. Nous rappelons cette construction dans notre contexte, suivant l'argument robuste de Pilloni [Pil13, Sect. 4.2] aussi utilisable en dimension supérieure sur la compactification minimale de la variété modulaire de Drinfeld.

Pour $v < \frac{q^d}{q^d+1}$, on a une correspondance :

$$\overline{M}^{\mathrm{rig}}_{\mathfrak{n}}(v) \xleftarrow{p_1} \mathcal{C}^{\mathrm{rig}} \xrightarrow{p_2} \overline{M}^{\mathrm{rig}}_{\mathfrak{n}}\Big(\frac{v}{q^d}\Big).$$

L'espace rigide $\mathcal{C}^{\mathrm{rig}}$ au-dessus de l'intersection de $\overline{M}^{\mathrm{rig}}_{\mathfrak{n}}(v)$ et de la variété modulaire de Drinfeld paramétrise les triplets $(E, \alpha, \mathcal{C})$ où E est un module de Drinfeld tel que $\mathrm{ha}(E) < v$, α une structure de niveau et $\mathcal{C}$ un sous-groupe strict de rang q^d de $E[\pi]$ différent du sous-groupe canonique. Les projections p_1 et p_2 sont induites par $p_1(E, \alpha, \mathcal{C}) = (E, \alpha)$ et $p_2(E, \alpha, \mathcal{C}) = (E/\mathcal{C}, \mathrm{Im}(\alpha))$. Soit $\pi_{\mathcal{C}} : \mathcal{E} \longrightarrow \mathcal{E}/\mathcal{C}$ l'isogénie universelle. Celle-ci induit un isomorphisme

$$\pi^*_{\mathcal{C}} : \mathcal{T}_{an} \times_{\overline{M}^{\mathrm{rig}}_{\mathfrak{n}}(v/q^d),p_2} \mathcal{C}^{\mathrm{rig}} \longrightarrow \mathcal{T}_{an} \times_{\overline{M}^{\mathrm{rig}}_{\mathfrak{n}}(v),p_1} \mathcal{C}^{\mathrm{rig}}.$$

Alors la méthode de Pilloni via l'application de Hodge–Tate–Taguchi que pour $n \geqslant 2$ et $v < \frac{q^d-1}{q^{dn}}$, l'application inverse $\pi^{-1,*}_{\mathcal{C}}$ induit une application

$$\pi^{-1,*}_{n,n-1} : \mathcal{F}_n \times_{\overline{M}^{\mathrm{rig}}_{\mathfrak{n}}(v),p_1} \mathcal{C}^{\mathrm{rig}} \longrightarrow \mathcal{F}_n \times_{\overline{M}^{\mathrm{rig}}_{\mathfrak{n}}(v/q^d),p_2} \mathcal{F}_{n-1},$$

où $\mathcal{F}_i$ est l'image réciproque dans $\omega_{\mathcal{E}}$ de l'image sous Hodge–Tate–Taguchi du sous-groupe canonique en échelon i, ici aussi vue comme une déformation (surconvergente) de la tour d'Igusa, voir la définition 4.5 dans la section suivante.

Notons $\mathcal{P}_i : \mathcal{F}_i \longrightarrow \overline{M}_{\mathfrak{n}}^{\mathrm{rig}}(v)$ les projections. Pour $\Omega_i := \mathcal{P}_{i,*}\mathcal{O}_{\mathcal{F}_i}$, on peut alors définir l'opérateur de Hecke noté encore par U_π par léger mais habituel abus de notation comme la composée :

$$\mathrm{H}^0(\overline{M}_{\mathfrak{n}}^{\mathrm{rig}}\Big(\frac{v}{q^d}\Big),\Omega_{n-1}) \xrightarrow{p_2^*} \mathrm{H}^0(\overline{M}_{\mathfrak{n}}^{\mathrm{rig}}\Big(\frac{v}{q^d}\Big),p_2^*\Omega_{n-1}) \xrightarrow{\pi_{\mathcal{C}}^{-1,*}} \mathrm{H}^0(\overline{M}_{\mathfrak{n}}^{\mathrm{rig}}(v),p_1^*\Omega_n) \xrightarrow{\frac{1}{\pi^{r-1}}\mathrm{Tr}(p_1)} \mathrm{H}^0(\overline{M}_{\mathfrak{n}}^{\mathrm{rig}}(v),\Omega_n).$$

L'extension au bord se fait comme dans le lemme 3.7, suivant [Pin13]. De plus, l'opérateur U_π ainsi défini sur $\overline{M}_{\mathfrak{n}}^{\mathrm{rig}}(v)$ est complètement continu car l'application induite $\pi_{n,n-1}^{-1,*}$ ci-haut est relativement compacte, cf. [Lüt90, Lemma 2.5].

4.2. **Formes modulaires surconvergentes.** On étudie plus à fond le faisceau des familles de formes surconvergentes.

Définition 4.5. Soit $\mathcal{F} \subset \omega$ le faisceau sur $\overline{\mathfrak{M}}_{\mathfrak{n}}(v)$ obtenu comme image inverse par

$$\omega_{(\overline{\mathcal{E}},\overline{\varphi})} \to \omega_{C_{\overline{\mathcal{E}},n}},$$

de l'image de la flèche de Hodge–Tate–Taguchi. Par abus de notation, $\mathcal{F}$ définit aussi un faisceau sur $\overline{M}_{\mathfrak{n}}^{\mathrm{rig}}(v)$, l'échelon n étant généralement sous-entendu.

On a la description alternative :

(4)

$$\mathcal{F}(\mathrm{Spf}(R)) = \Big\{ f \in \omega_{(\overline{\mathcal{E}},\varphi)}(\mathrm{Spf}(R)) \text{ t.q. } \exists \mathfrak{c} \text{ générateur de } C_{\overline{\mathcal{E}},n}^{\vee}(\overline{R}) \text{ et } f \equiv \mathrm{HTT}(\mathfrak{c}) \bmod aR \Big\}.$$

Ceci nous permet de voir que le groupe $1+\pi^w R$ agit par multiplication sur les sections de $\mathcal{F}$. De plus, l'action de $A/\mathfrak{p}^n$ sur $C_{\overline{\mathcal{E}},n}^{\vee}$ induit une action de $A_{\mathfrak{p}}$ sur $\mathcal{F}$.

Théorème 4.6. Le faisceau $\mathcal{F}$ est localement libre de rang 1. C'est un torseur pour $A_{\mathfrak{p}}^{\times}\Big(1+\pi^w\mathcal{O}_{\overline{\mathfrak{M}}_{\mathfrak{n}}(v)}\Big)$.

Démonstration. Sur $\overline{\mathfrak{M}}_{\mathfrak{n}}(v)$ le faisceau $\mathcal{F}$ est trivialisé par $c = \mathrm{Ha}^{1/(q^d-1)}$. Par la description donnée dans (4), deux sections f et f' qui trivialisent le faisceau diffèrent par un élément de $A_{\mathfrak{p}}^{\times}\Big(1+\pi^w\mathcal{O}_{\overline{\mathfrak{M}}_{\mathfrak{n}}(v)}\Big)$. □

Ce faisceau nous permet de retrouver le faisceau des formes modulaires de poids k. On a la proposition suivante :

Proposition 4.7. Soit ω_{an}^k l'analytification de ω^k sur $\overline{\mathcal{M}}_{\mathfrak{n}}(v)$. On a un isomorphisme $\omega_{\mathrm{an}}^k \cong \mathcal{F}[-k]$, où $\mathcal{F}[-k]$ dénote les fonctions homogènes de poids $-k$ pour l'action de $A_{\mathfrak{p}}^{\times}\Big(1+\pi^w\mathcal{O}_{\overline{\mathfrak{M}}_{\mathfrak{n}}(v)}\Big)$.

Démonstration. La preuve est exactement comme dans [Pil13, Proposition 3.6] ; on considère un faisceau $\mathcal{T}$ sur $\overline{M}_{\mathfrak{n}}$ qui paramètre les trivialisations du faisceau ω. Donc $\mathcal{T}$ est un $\mathbb{G}_m$ -torseur algébrique et ω^k sont les fonctions homogènes sur $\mathcal{T}$ de poids $-k$. En fibre générique, l'image de la flèche de Hodge–Tate–Taguchi engendre ω, et on a donc une flèche $\mathcal{F} \to \mathcal{T}^{\mathrm{an}}$ qui est injective et qui envoie $\mathcal{F}[-k]$ dans ω_{an}^k. Pour montrer la surjectivité, on travaille localement sur un ouvert $\mathcal{U}$ de $\overline{\mathcal{M}}_{\mathfrak{n}}(v)$ et on voit $\mathcal{F}$ comme des boules centrées dans $A_{\mathfrak{p}}^{\times}$ de rayon π^w dans $\mathbb{G}_m^{\mathrm{an}} \times \mathcal{U}$. Une section de $\mathcal{F}$ homogène de poids k est, à une fonction sur $\mathcal{U}$ près, tout simplement la fonction $x \mapsto x^{-k}$, qui se prolonge de la façon évidente sur $\mathbb{G}_m^{\mathrm{an}}$. □

La première étape pour construire des familles π-adiques est de préciser l'espace des poids. Historiquement, le choix naturel est $\mathrm{Spa}(\Lambda,\Lambda)$. Un problème immédiat de ce choix est que l'idéal définissant la topologie en question n'est pas d'engendrement fini et donc la théorie de Huber ne s'applique pas.

Une autre différence majeure et pertinente pour la construction de familles de formes modulaires de Drinfeld de pente finie est la *non-analyticité* du caractère universel induit par le morphisme naturel de $1+\pi A_{\mathfrak{p}}$ dans $\Lambda^\times$. En effet, il n'y a guère de caractères localement analytiques en caractéristique positive : ne subsistent que les morphismes $z\mapsto z^s$, pour s dans $\mathbb{Z}_p$, cf. [Jeo09]. Nous incorporons ce fait dans notre construction alternative recentrée sur $\mathbb{Z}_p$.

Soit $\underline{\mathbb{Z}_p}$ le schéma en groupes localement constant défini par

$$\underline{\mathbb{Z}_p}=\mathrm{Spec}\Big(\mathcal{C}(\mathbb{Z}_p,\mathcal{O})\Big).$$

Il y a morphisme $\underline{\mathbb{Z}_p}\to\mathrm{Spec}(\Lambda_\infty)$ induit par le morphisme d'algèbre ci-haut, voir l'équation (2). Par un abus de notation inoffensif, on note aussi par $\underline{\mathbb{Z}_p}$ le schéma en groupes localement constant sur $\mathrm{Spa}(\mathcal{O},\mathcal{O})_{\mathrm{an}}$, comme défini dans [SW, §8.2], cf. [Sch18, §2]. Il y a un espace adique associé et la même preuve que le théorème 4.24 plus bas nous donne le théorème suivant.

Théorème 4.8. L'espace adique $\underline{\mathbb{Z}_p}$ est faisceautique et, pour tout recouvrement de Čech fini par des ouverts rationnels et tout faisceau en $(\mathcal{O}_{\underline{\mathbb{Z}_p}},\mathcal{O}^+_{\underline{\mathbb{Z}_p}})$-modules cohérents, le complexe de Čech associé est acyclique.

On considère le produit $\overline{\mathcal{M}}_{\mathfrak{n}}(v)\times\underline{\mathbb{Z}_p}$. Localement, $\mathrm{Spa}(R,R^+)\times\underline{\mathbb{Z}_p}$ est $\mathrm{Spa}(R_\infty,R^+_\infty)$ pour

$$(R_\infty,R^+_\infty)=\varinjlim\widehat{\prod_{\mathbb{Z}/p^n\mathbb{Z}}}(R,R^+).$$

Un élément de R_∞ est donc une limite de fonctions localement constantes pour la norme sup. Quand R est complet, on récupère les espaces de fonctions continues sans coup férir :

$$(R_\infty,R^+_\infty)=(\mathcal{C}(\mathbb{Z}_p,R),\mathcal{C}(\mathbb{Z}_p,R^+)).$$

Définition 4.9. Soit χ un caractère d'ordre fini de $A_{\mathfrak{p}}^\times$ et s dans $\mathbb{Z}_p$; on étend ce caractère à $1+\pi^w\mathcal{O}_{\overline{\mathfrak{M}}_{\mathfrak{n}}(v)}$ de la façon naturelle via $x\mapsto x^s$. Le faisceau des familles de formes modulaires $\omega^{(\chi,s^{\mathrm{univ}})}$ sur $\overline{\mathcal{M}}_{\mathfrak{n}}(v)\times\underline{\mathbb{Z}_p}$ est défini comme le sous-faisceau de $\mathcal{F}$ des sections (χ,s)-homogènes pour l'action de $A_{\mathfrak{p}}^\times$.

Plus précisément, localement sur $\mathrm{Spa}(R,R^+)\times\underline{\mathbb{Z}_p}$ on $y.(r_s)_s=(y^sr_s)_s$ pour $y\in A_{\mathfrak{p}}^\times\Big(1+\pi^w\mathcal{O}_{\overline{\mathfrak{M}}_{\mathfrak{n}}(v)}\Big)$ et $(r_s)_s\in R_\infty$, et ceci est bien défini.[‡]

On définit aussi par la suite $\mathcal{M}_{s^{\mathrm{univ}}}=\mathcal{M}_{s,v}$, le module des formes modulaires de poids s et rayon de surconvergence v, comme étant : $\mathrm{H}^0(\overline{\mathcal{M}}_{\mathfrak{n}}(v)\times\underline{\mathbb{Z}_p},\omega^{(\chi,s^{\mathrm{univ}})})$.

On rappelle qu'un module de Banach M sur A est dit orthonormalisable (ou Pr) si l'on a un isomorphisme (pas forcement une isométrie !) de modules de Banach $M\cong\widehat{\oplus}_{i\in I}A$. On a le théorème suivant :

Théorème 4.10. Le module $\mathcal{M}_{s^{\mathrm{univ}}}$ est orthonormalisable sur $\mathcal{C}(\mathbb{Z}_p,\mathcal{O}[1/\pi])$.

Démonstration. Soit $\{U_i\}_{i=1}^m$ un recouvrement fini de $\overline{\mathcal{M}}_{\mathfrak{n}}(v)$ par des ouverts rationnels tels que $\omega^{(\chi,s^{\mathrm{univ}})}$ se trivialise sur $U_i\times\underline{\mathbb{Z}_p}$. On a donc la suite longue

$$0\to\mathcal{M}_{s^{\mathrm{univ}}}\to\oplus_i\mathrm{H}^0(U_i\times\underline{\mathbb{Z}_p},\omega^{(\chi,s^{\mathrm{univ}})})\to\oplus_{i,j}\mathrm{H}^0(U_{i,j}\times\underline{\mathbb{Z}_p},\omega^{(\chi,s^{\mathrm{univ}})})\to\dots$$

qui est exacte par le théorème 4.8. Pour tout sous-ensemble $\{i_1,\dots,i_j\}$ dans $\{1,\dots,m\}$ on a

$$\mathrm{H}^0(U_{i_1,\dots,i_j}\times\underline{\mathbb{Z}_p},\omega^{(\chi,s^{\mathrm{univ}})})\cong\mathcal{O}_{\mathcal{W}}(U_{i_1,\dots,i_j})\widehat{\otimes}_{\mathcal{O}[1/\pi]}\mathcal{C}(\mathbb{Z}_p,\mathcal{O}[1/\pi])$$

‡. on approxime la fonction $s\mapsto y^s$ avec des fonctions localement constantes f_n et $(y^sr_s)_s$ est donc la limite de $(f_n(y)r_s^{(n)})_s$ (pour $\Big\{(r_s^{(n)})_s\Big\}_n$ une suite qui tend vers $(r_s)_s$).

qui est orthonormalisable sur $\mathcal{C}(\mathbb{Z}_p, \mathcal{O}[1/\pi])$ (car tout module de Banach sur $\mathcal{O}[1/\pi]$ est orthonormalisable). On peut donc utiliser e.g., [AIP18, Corollaire B.2]. □

Pour construire une variété de Hecke, nous avons besoin d'une bonne notion de déterminant de Fredholm $F_{\mathrm{U}_\pi}(X)$ de U_π. En particulier, c'est un élément de $\mathcal{C}(\mathbb{Z}_p, \mathcal{O}[1/\pi])\{\{X\}\}$, l'anneau des séries $\sum_{n=0}^{\infty} a_n X^n$ qui convergent pour tout élément de $\mathcal{C}(\mathbb{Z}_p, \mathcal{O}[1/\pi])$.

Théorème 4.11. Il existe un élément

$$F_{\mathrm{U}_\pi}(X) \in \mathcal{C}(\mathbb{Z}_p, \mathcal{O}[1/\pi])\{\{X\}\}$$

qu'on appelle déterminant de Fredholm et qui interpole les déterminants de Fredholm de U_π en poids fixés.

Démonstration. Même si l'opérateur U_π est complètement continu sur $\mathcal{M}_{s^{\mathrm{univ}}}$, on ne peut pas définir directement son déterminant de Fredholm par la définition standard cf. [Buz07], car l'anneau $C(\mathbb{Z}_p, \mathcal{O}[1/\pi])$ n'est pas noethérien. Nonobstant, on dispose ponctuellement du déterminant de Fredholm c'est-à-dire :

$$F_{\mathrm{U}_{\pi,s}}(X) = \sum_{n\geqslant 0} a_n(s) X^n$$

est bien défini pour tout $s \in \mathbb{Z}_p$, ce qui nous permet de définir formellement

$$F_{\mathrm{U}_\pi}(X) := \sum_{n\geqslant 0} a_n(s) X^n.$$

Il nous faut montrer que les fonctions $a_n(s)$ sont continues. On utilise la stratégie de [GM93]. Soient s et s' deux poids dans $\mathbb{Z}_p$, $s \equiv s' \bmod p^m$, et soit $\mathcal{H} = \widetilde{\mathrm{Ha}}^{(s'-s)/(q^d-1)} := \varinjlim_{k_j} \widetilde{\mathrm{Ha}}^{k_j/(q^d-1)}$ où k_j est une suite d'entiers positifs divisibles par q^d-1 et qui tend vers $s'-s$ dans $\mathbb{Z}_p$.[§] Utilisant le lemme 2.17 on voit aussi que $\mathcal{H} \equiv 1 \bmod \pi^{p^m}$.
On considère les deux morphismes :

$$\Phi, \Psi : \mathrm{H}^0(\overline{\mathcal{M}}_{\mathfrak{n}}(v), \omega^s) \rightrightarrows \mathrm{H}^0(\overline{\mathcal{M}}_{\mathfrak{n}}(v), \omega^s)$$

où $\Phi := \mathrm{U}_{\pi,s}$ et $\Psi := \mathcal{H}^{-1}\mathrm{U}_{\pi,s'}\mathcal{H}$. On veut trouver un réseau $D \subset \mathrm{H}^0(\overline{\mathcal{M}}_{\mathfrak{n}}(v), \omega^s)$ tel que $(\Phi - \Psi)(D) \subset \pi^{p^m} D$; si on trouve un tel D, alors par [GM93, Lemma 2] les coefficients des séries caractéristiques de Φ et Ψ (et donc de $\mathrm{U}_{\pi,s'}$) seront congruentes modulo π^{p^m}. Nous choisissons comme candidat le même D que dans [GM93], c'est-à-dire le sous-module de $\mathrm{H}^0(\overline{\mathcal{M}}_{\mathfrak{n}}(v), \omega^s)$ des formes f qui ont norme bornée par 1 sur le lieu ordinaire. Le module D est un réseau car toute forme f a norme finie sur le lieu ordinaire, et il est stable sous $\mathrm{U}_{\pi,s}$ (par définition, voir section 3.3). Par [GM93, Lemma 3] on voit donc que $(\Phi - \Psi)(D) \subset \pi^{p^m} D$. □

En particulier, $F_{\mathrm{U}_\pi}(0) = 1$ et toutes les racines réciproques de $F_{\mathrm{U}_\pi(X)}$ (et donc les valeurs propres de U_π) sont entières. Soit $\mathbb{A}^1_{\underline{\mathbb{Z}_p}}$ la droite affine sur $\underline{\mathbb{Z}_p}$. Elle est recouverte par les boules affinoïdes

$$\mathbb{B}_{a/b} := \mathrm{Spa}(\mathcal{C}(\mathbb{Z}_p, \mathcal{O}[1/\pi])\langle \pi^a X^b \rangle, \mathcal{C}(\mathbb{Z}_p, \mathcal{O})\langle \pi^a X^b \rangle),$$

pour $\frac{a}{b} \in \mathbb{Q}_{\geqslant 0}$.

Définition 4.12. La variété spectrale $\mathcal{Z} = \mathcal{Z}_v$ est le fermé $V(F_{\mathrm{U}_\pi}(X)) \subset \mathbb{A}^1_{\underline{\mathbb{Z}_p}}$.

On utilise la notion de localement de type fini et quasi-séparé de [Hub94, §3].

§. Par le théorème des restes chinois, la suite existe.

Définition 4.13. Suivant [Hub96, Definition 1.5.1], on dit qu'un morphisme $w : X \to Y$ entre espaces adiques est quasi-fini si w est localement de type fini et pour tout $y \in Y$ la fibre $f^{-1}(y)$ possède la topologie discrète.

Suivant [Hub96, Definition 1.3.3], on dit que w est partiellement propre si w est localement de type fini, séparé, et satisfait le critère valuatif universel suivant :

pour tout morphisme $Y' \to Y$, et tout $x' \in X \times_Y Y'$, si on dénote par w' la projection $X \times_Y Y' \to Y'$, on a que chaque point $\tilde{y}$ qui se spécialise en $w'(x')$ est image par w' d'un point $\tilde{x}$ de $X \times_Y Y'$ qui se spécialise en x'.

Remarque 4.14. Il faut remarquer que la notion de espace f-adique du livre [Hub96] est différente de la nôtre et de celle de [Hub93, Hub94], car dans son ouvrage de référence, Huber définit un anneau f-adique comme un anneau topologique avec un anneau de définition qui est noethérien. Dès qu'on utilisera un résultat du livre cité, on expliquera pourquoi un tel résultat reste valable dans notre contexte.

Théorème 4.15. Le morphisme $\mathcal{Z} \to \underline{\mathbb{Z}_p}$ est plat, localement quasi-fini, et partiellement propre. De plus, pour tout x dans $\mathcal{Z}$ il existe un ouvert $U \subset \mathcal{Z}$ tel que $\overline{x} \subset U$ et un ouvert $V \subset \underline{\mathbb{Z}_p}$ tel que $w(U) \subset V$ et $w : U \to V$ est fini et plat. Si le degré de $w : U \to V$ est constant sur $\overline{U}$, alors les ouverts U et V définissent une factorisation $F_{\mathrm{U}_\pi}(X) = Q(X)P(X) \in \mathcal{O}_{\underline{\mathbb{Z}_p}}(V)$, avec $Q(X)$ et $P(X)$ premiers entre eux et tel que $Q(X)$ est un polynôme de terme constant 1 et coefficient directeur une unité de $\mathcal{O}_{\underline{\mathbb{Z}_p}}(V)$.

Démonstration. On adapte la démonstration de [AIP18, Théorème A.2]. Le morphisme w est par définition localement de type fini et quasi-séparé.

Le même raisonnement que dans [AIP18, Lemme B.1] sur les pentes du polygone de Newton nous garantit que pour tout $x = \mathrm{Spa}(\mathcal{O}[1/\pi], \mathcal{O})$ dans $\underline{\mathbb{Z}_p}$, la série de Fredholm $F_{\mathrm{U}_\pi}(X)_x \in \mathcal{O}[1/\pi]\{\{X\}\}$ n'a qu'un nombre fini de valeurs propres de U_π de valuation π-adique plus petite que a/b pour tout $a/b \in \mathbb{Q}_{\geqslant 0}$. Soit $\mathcal{Z}_{a/b}$ la restriction de $\mathcal{Z}$ à $\mathbb{B}_{a/b}$. Notons $F_{\mathrm{U}_\pi}(\pi^a X^b) = \sum_{n=0}^{\infty} a_n(\pi^a X^b)$; on recouvre $\mathbb{Z}_p$ par un nombre fini d'ouverts. Considérons

$$V_n := \left\{ x \in \mathbb{Z}_p | F_{\mathrm{U}_\pi}(\pi^a X^b)_x \text{ est } n\text{-distingué} \right\}.$$

L'ensemble V_n est ouvert car la condition indiquée est équivalente à ce que $|a_n|_\pi \geqslant |a_m|_\pi$ pour tout m, avec inégalité stricte si $n > m$. Soit donc, pour $M \in \mathbb{N}$,

$$\mathcal{U}_M := \{x | F_{\mathrm{U}_\pi}(X)_x \text{ a moins que } M \text{ zéros de valuation } \pi\text{-adique plus petite que } a/b\}.$$

Ces ensembles $\mathcal{U}_M$ forment un suite croissante d'ouverts et $\underline{\mathbb{Z}_p}$ étant quasi-compact, on sait que $F_{\mathrm{U}_\pi}(X)$ a moins que M racines pour M fixé assez grand.[¶] Le théorème de préparation de Weierstraß [Ell14, Theorem 1.3] nous dit que sur V_n, on peut factoriser, à une puissance de π près, $F_{\mathrm{U}_\pi}(T)$ comme suit :

$$F_{\mathrm{U}_\pi}(T) = Q(T)P(T)$$

pour $T = \pi^a X^b$, où Q est un polynôme de degré n congruent à T^n modulo π, et P une série formelle inversible. Si $\mathcal{Z}_{a/b,n}$ est la restriction de $\mathcal{Z}_{a/b}$ à V_n on a donc

$$\mathcal{O}_{\underline{\mathbb{Z}_p}}(V_n)[T]/Q(T) \cong \mathcal{O}_{\mathcal{Z}}(\mathcal{Z}_{a/b,n})$$

qui montre que $\mathcal{Z}$ est plat (utilisant [Sta18, Lemma 10.127.5] qui traite le cas d'un anneau non-noethérien) et localement fini.

Pour montrer que w est partiellement propre, on peut travailler localement : soit donc $Y' = \mathrm{Spa}(A, A^+) \to \mathbb{B}_{a/b}$ un morphisme, $x' = \mathrm{Spa}(\kappa(x'), \kappa^+(x'))$ un point de $\mathcal{Z} \times Y'$, $w'(x) =$

¶. En contraste avec [Buz07, Lemma 4.4], la situation se simplifie : les V_n fournissent déjà un recouvrement par des ouverts deux-à-deux disjoints.

$\mathrm{Spa}(\kappa(y),\kappa^+(y))$, et $\tilde{y}=\mathrm{Spa}(\kappa(y),\kappa^+(\tilde{y}))$ un point de Y' qui se spécialise à $w'(x)$. On définit $\tilde{x}=\mathrm{Spa}(\kappa(x'),\kappa^+(\tilde{x}))$ pour $\kappa^+(\tilde{x})$ la clôture intégrale de l'image de $\kappa^+(\tilde{y})$ dans $\kappa^+(x')$. Pour résumer, on a le diagramme suivant :

$$\begin{array}{ccc}
(A,A^+) & \longrightarrow & (A\{\{X\}\}/F_{\mathrm{U}_\pi}(X), A^+\{\{X\}\}/F_{\mathrm{U}_\pi}(X)) \\
\downarrow & & \downarrow \\
(\kappa(y),\kappa^+(y)) & \longrightarrow & (\kappa(x'),\kappa^+(x')) \\
\uparrow & & \uparrow \\
(\kappa(y),\kappa^+(\tilde{y})) & \longrightarrow & (\kappa(x'),\kappa^+(\tilde{x}))
\end{array}$$

Nous pouvons donc poser $U:=\mathcal{Z}_{a/b,n}$ pour a/b convenable.

□

Soit $\mathcal{H}$ l'algèbre de Hecke abstraite sur $\mathcal{C}(\mathbb{Z}_p,\mathcal{O}[1/\pi])$ engendrée par les opérateurs de Hecke de niveau premier à $\mathfrak{np}$ et l'opérateur U_π, et $\mathcal{H}^+$ la même algèbre de Hecke abstraite mais sur Λ^+.

Lemme 4.16. Les algèbres de Hecke $\mathcal{H}$ et $\mathcal{H}^+$ sont commutatives.

Soient U et V deux ouverts comme dans le théorème 4.15. Suivant Serre [Ser62], on utilise le déterminant de Fredholm pour obtenir une décomposition de Riesz comme suit :

Proposition 4.17. Il existe une décomposition :

$$\mathcal{M}_{s^{\mathrm{univ}}}\otimes\mathcal{O}_{\underline{\mathbb{Z}_p}}(V)=\mathcal{M}_{s^{\mathrm{univ}}}(Q)\oplus\mathcal{M}_{s^{\mathrm{univ}}}(P),$$

où $\mathrm{U}_\pi^d Q(\mathrm{U}_\pi^{-1})$ est nilpotent sur $\mathcal{M}_{s^{\mathrm{univ}}}(Q)$ et inversible sur $\mathcal{M}_{s^{\mathrm{univ}}}(P)$.
De plus, on a aussi une décomposition :

$$\mathrm{H}^0(\overline{\mathcal{M}}_{\mathfrak{n}}(v)\times\underline{\mathbb{Z}_p},\omega^{(\chi,s^{\mathrm{univ}}),+})\otimes_{\mathcal{C}(\mathbb{Z}_p,\mathcal{O})}\mathcal{O}^+_{\underline{\mathbb{Z}_p}}(V)=\mathcal{M}_{s^{\mathrm{univ}}}(Q)^+\oplus\mathcal{M}_{s^{\mathrm{univ}}}(P)^+.$$

Démonstration. Il nous faut montrer que $\mathcal{M}_{s^{\mathrm{univ}}}(Q):=\mathrm{Ker}\left(\mathrm{U}_\pi^d Q(\mathrm{U}_\pi^{-1})^m\right)$, $m>>0$, est en somme directe. Comme dans [Ser62, Proposition 12], pour chaque racine a de $Q(\mathrm{U}_\pi^{-1})$, on produit à partir de $1-a\mathrm{U}_\pi$ une décomposition $1=p+q$, où p et q sont des endomorphismes de $\mathcal{M}_{s^{\mathrm{univ}}}\otimes\mathcal{O}_{\underline{\mathbb{Z}_p}}(V)$ dans la clôture de $\mathcal{C}(\mathbb{Z}_p,\mathcal{O}[1/\pi])[U_\pi]$. On obtient la décomposition de Riesz désirée en procédant comme dans [Ser62, Remarque 3]. □

Définition 4.18. La variété de Hecke $\mathcal{C}_v\to\mathcal{Z}_v$ est l'espace adique défini localement sur U par $\mathrm{Spa}(\mathcal{H}_Q,\mathcal{H}_Q^+)$, où $\mathcal{H}_Q$ est l'image de $\mathcal{H}$ (resp. $\mathcal{H}^+$) dans $\mathrm{End}_{\mathcal{C}(\mathbb{Z}_p,\mathcal{O}[1/\pi])}(\mathcal{M}_{s^{\mathrm{univ}}}(Q))$ (resp. $\mathrm{End}_{\mathcal{C}(\mathbb{Z}_p,\mathcal{O})}(\mathcal{M}_{s^{\mathrm{univ}}}(Q)^+)$).

Ce qu'il nous reste à faire est de recoller les variétés $\mathcal{Z}_v$ et $\mathcal{C}_v$ pour v tendant vers 0. Si $v'>v>0$, on peut voir que la flèche induite par la restriction

$$\mathcal{M}_{s,v'}\to\mathcal{M}_{s,v}$$

est un "lien" comme dans [Col97, Theorem B3.2], donc les deux séries de Fredholm sont les mêmes pour tout $s\in\mathbb{Z}_p$, et les deux variétés spectrales $\mathcal{Z}_{v'}$ et $\mathcal{Z}_v$ sont isomorphes et pareillement pour $\mathcal{C}_{v'}$ et $\mathcal{C}_v$.

Somme toute, on a le théorème suivant :

Théorème 4.19. (1) Il existe une variété spectrale $\mathcal{Z}\to\underline{\mathbb{Z}_p}$ qui est plate, localement quasi-finie, partiellement propre sur $\underline{\mathbb{Z}_p}$, et paramètre les inverses des valeurs propres de U_π sur $\varinjlim\mathcal{M}_{s^{\mathrm{univ}},v}$.

(2) Il existe une variété de Hecke $\mathcal{C} \to \mathcal{Z}$ qui paramètre les systèmes des valeurs propres de l'algèbre de Hecke sur $\varinjlim \mathcal{M}_{s^{\mathrm{univ}},v}$.

Voici le corollaire attendu sur l'existence des familles variant continûment :

Corollaire 4.20. Soit f une forme modulaire de Drinfeld, propre pour U_π, de poids k et de pente finie pour U_π. Il existe un ouvert $k \in U \subset \mathbb{Z}_p$, un anneau $\mathcal{R}$ fini sur $\mathcal{C}(U, \mathcal{O})$, et une fonction continue $F \in \mathcal{R}$ telle que pour tout $x \in \mathrm{Spa}(\mathcal{R}[1/\pi], \mathcal{R})$, au-dessus de $s \in U$, il y a une forme modulaire f_x de Drinfeld surconvergente de poids s et de valeur propre $F(x)$, et en particulier, il existe x_k au-dessus de k tel que $f_{x_k} = f$.

Démonstration. En effet, on remarque tout d'abord que $\overline{\mathcal{M}}_{\mathfrak{n}}(v)$ est affinoïde car ω est ample par dévissage à [Pin13, Theorem 5.3] ; notons donc $\overline{\mathcal{M}}_{\mathfrak{n}}(v) = \mathrm{Spa}(R, R^+)$. Pour montrer le changement de base désiré :

$$M_{s^{\mathrm{univ}},v} \otimes_s \mathcal{O}[1/\pi] \cong \mathrm{H}^0(\overline{\mathcal{M}}_{\mathfrak{n}}(v), \omega^{(\chi,s)}),$$

il suffit de montrer que le premier groupe de cohomologie de $\omega^{(\chi,s^{\mathrm{univ}})}$ s'annule i.e., $\mathrm{H}^1 = 0$. Or, la même preuve qu'au théorème 4.8 s'applique à $\mathrm{Spa}(R_\infty, R_\infty^+)$ et pour conclure on rappelle que la cohomologie de Čech calcule le H^1 par [Tam94, Corollary 3.4.7]. □

N.B. Quitte à restreindre U, on peut même supposer que $v_\pi(F)$ est constante dans le corollaire ci-haut.

Remarque 4.21. Si k et k' appartiennent au même ouvert V_n (associé à la partie de pente plus petite que a/b) la dimension de l'espace des formes modulaires de Drinfeld surconvergentes de pente plus petite que a/b et de poids k est la même que pour l'espace de formes de poids k'. Comme la construction de V_n est tout à fait explicite, nous sommes optimistes quant à l'existence de résultats dans le style de la conjecture de Gouvêa–Mazur.

Remarque 4.22. Même si la variété spectrale est quasi-finie sur $\mathbb{Z}_p$, nous sommes incapables de démontrer que l'algèbre de Hecke agissant sur les familles est de type fini, même localement. Nous rejettons le blâme sur l'aspect non-noethérien de notre contexte, et nous ne pouvons donc pas exclure l'existence éventuelle d'une infinité de familles déformant une forme donnée, tout le moins quand la multiplicité de sa valeur propre pour U_π est supérieure à 1.

Nous avons déjà souligné le fait que $\mathrm{Spa}(\Lambda, \Lambda)$ n'est pas un bon objet pour faire de la géométrie. Pour essayer de résoudre ce problème, nous changeons la topologie de l'idéal maximal pour la remplacer par une topologie π-adique. Nous introduisons donc un nouveau candidat pour l'espaces des poids qui est un sous-ensemble des points analytiques de $\mathrm{Spa}(\Lambda, \Lambda)$. Nous démontrons que cet espace est d'emploi plus commode : en particulier, il est faisceautique.

Voici les détails de la construction de notre espaces des poids. Tout d'abord, on plonge $\Lambda[1/\pi]$ dans l'espace des fonctions continues $\mathcal{C}(\mathbb{Z}_p, \mathcal{O}[1/\pi])$, et on définit

$$\Lambda^+ := \{f(s) \in \Lambda[1/\pi] | v_\pi(f) \geqslant 0\}.$$

Cet anneau contient les images des éléments $\frac{T_i}{\pi^{v_\pi((1+z_i)^s-1)}}$, et il possède un unique idéal maximal, engendré par π. De plus il est intégralement clos dans $\Lambda[1/\pi]$.

Définition 4.23. On définit l'espaces des poids $\mathcal{W} := \mathrm{Spa}(\Lambda[1/\pi], \Lambda^+)$. C'est un espace adique sur $\mathrm{Spa}(\mathcal{O}, \mathcal{O})_{\mathrm{an}} = \mathrm{Spa}(\mathcal{O}[1/\pi], \mathcal{O})$.

Théorème 4.24. L'espace adique $\mathcal{W}$ est faisceautique, c'est-à-dire que $(\mathcal{O}_\mathcal{W}, \mathcal{O}_\mathcal{W}^+)$ est un faisceau. De plus, pour tout recouvrement de Čech fini par des ouverts rationnels et tout faisceau en $(\mathcal{O}_\mathcal{W}, \mathcal{O}_\mathcal{W}^+)$-modules cohérents, le complexe de Čech associé est acyclique.

Démonstration. On note que $\mathcal{W}$ est isomorphe à la boule ouverte de dimension infinie de rayons $(v_\pi((1+z_i)^s-1))_i$. On vérifie d'abord que $\mathcal{W}$ est stablement uniforme. Soit U un ouvert rationnel tel que $\mathcal{O}_X(U)=\Lambda[1/\pi]\langle\frac{t_i}{s_i}\rangle$. S'il existe $k\in\mathbb{Z}_p$ tel que $s_i(k)\neq 0$ pour tout i et $f(s)$ est un élément de $\mathcal{O}_X(U)$ à puissances bornées, alors $v_\pi(f^n(s))=nv_\pi(f(s))$, donc on doit avoir $v_\pi(f^n(s))\geqslant 0$ et $\mathcal{O}_X(U)$ est alors uniforme. S'il n'existe pas un tel k, alors $s_1\cdots s_n=0\in\Lambda[1/\pi]$, donc $\mathcal{O}_X(U)=0$ et $U=\varnothing$. On conclut donc que $\mathcal{W}$ est stablement uniforme et on peut appliquer [BV18b, Theorem 7], donnant ainsi la propriété faisceautique de l'espace $\mathcal{W}$. La preuve de ce théorème nous donne aussi l'acyclicité de tous les recouvrements de Čech finis par des ouverts rationnels cf. [BGR84, §8.2]. □

Remarque 4.25. Il est plausible qu'une variante de [Sta18, Lemma 10.127.5] nous permette de généraliser la construction de la variété spectrale aux séries de Fredholm sur Λ^+. Avec cet propriété, la question qui se pose est évidemment : nos familles continues se prolongent-elles sur la boule de dimension infinie $\mathcal{W}$?

5. Classicité des formes de petite pente

Dans la section précédente, nous avons construit des familles de formes modulaires de Drinfeld surconvergentes. Il est très désirable de savoir reconnaître les formes modulaires de Drinfeld classiques parmi les formes surconvergentes. Dans cette section, nous démontrons que si l'on a une forme de pente qui soit petite par rapport au poids, elle est alors forcément classique. Nous suivons la méthode de prolongement analytique de Kassaei et Buzzard. La relation $\mathrm{U}_\pi f=a_\pi f$ et la définition de l'opérateur

$$\mathrm{U}_\pi(f)(x):=\frac{1}{\pi^{r-1}}\sum_y f(y),$$

sont envisagées comme des équations fonctionnelles. En étudiant la correspondance définissant U_π, on voit que si $f(x)$ est défini alors $f(y)$ est défini aussi pour tous les y sauf un. On peut donc prolonger la forme f en y et, en itérant ce processus de proche en proche en s'éloignant progressivement du lieu ordinaire-multiplicatif. Pour le prolongement au lieu ordinaire-étale, on doit utiliser la série de Kassaei. Celle-ci utilise la dichotomie suivante : si x est dans le lieu ordinaire-étale, on a d'un côté les "bons" y, pour lesquels $f(y)$ est défini, et les mauvais "y" qui eux demeurent dans le lieu ordinaire-étale. On itère ce processus pour les mauvais y et on obtient une série infinie qui ne fait apparaître que les $f(y)$ où f est déjà définie en y. On voit ensuite que la série converge si la pente est petite par rapport au poids. Ce fait nous permet de prolonger analytiquement f sur le lieu ordinaire-étale via cette série. Dès que son domaine est assez grand, on peut conclure que la forme est algébrique grâce au théorème du prolongement analytique et le principe de GAGA rigide.

5.1. **Dynamique de l'opérateur U_π.** Soit $\overline{M}_{\mathfrak{n},\mathrm{drap}}$ la variété modulaire de Drinfeld de niveau $K(\mathfrak{n})\cap K_0(\mathfrak{p})$ sur $\mathcal{O}[1/\pi]$. La variété ouverte $M_{\mathfrak{n},\mathrm{drap}}$ paramètre les modules de Drinfeld $\mathcal{E}$ de rang r munis d'une structure de niveau $\mathfrak{n}$ (qui par la suite sera volontairement ignorée) et un sous-groupe strict H d'ordre q^d de la $\mathfrak{p}$-torsion. Il existe, via le sous-groupe canonique, une section qui envoie $\overline{M}^{\mathrm{rig}}_{\mathfrak{n}}(v)$ vers $\overline{M}^{\mathrm{rig}}_{\mathfrak{n},\mathrm{drap}}$.

Rappelons que l'opérateur U_π est induit par la correspondance $\mathfrak{C}_\pi$ qui paramètre, en plus de $\mathcal{E}$ et H, un supplémentaire générique L de H. De plus, on a deux flèches p_1 et p_2 telles que $p_1(\mathcal{E},H,L)=(\mathcal{E},H)$ et $p_2(\mathcal{E},H,L)=(\mathcal{E}/L,\mathrm{Im}(H\to\mathcal{E}[\mathfrak{p}]/L))$. On voit donc U_π comme une fonction multivalente, et

$$\mathrm{U}_\pi(\mathcal{E},H)=\left\{(\mathcal{E}/L,\mathrm{Im}(H\to\mathcal{E}[\mathfrak{p}]/L))|(L\times H)\times\mathcal{O}[1/\pi]\xrightarrow{\cong}\mathcal{E}[\mathfrak{p}]\times\mathcal{O}[1/\pi]\right\}.$$

Soit H un $A_{\mathfrak{p}}$-module strict de rang q^d ; il est localement de la forme $\mathrm{Spec}\left(R[Z]/aZ + Z^{q^d}\right)$ et on définit $\deg_\pi(H) := v_\pi(a) \in [0,1]$. Plus généralement, suivant [Far10], pour tout $A_{\mathfrak{p}}$-module strict et fini G, on définit le degré de G via le 0-ième idéal de Fitting :

$$\deg_\pi(G) := v_\pi(\mathrm{Fitt}_{\omega_G}).$$

Explicitement, si $\omega_G \cong \bigoplus \mathcal{O}/x_i\mathcal{O}$, alors $\deg_\pi(G) = \sum v_\pi(x_i)$.

Le degré satisfait les propriétés suivantes :

Proposition 5.1. (1) Si $0 \to G_1 \to G_2 \to G_3 \to 0$ est une suite exacte, alors

$$\deg_\pi(G_2) = \deg_\pi(G_1) + \deg_\pi(G_3).$$

(2) $\deg_\pi(G) + \deg_\pi(G^\vee) = \mathrm{ht}_\pi G$, où $G^\vee$ est le dual strict de G au sens de Faltings (et qui coïncide avec le dual de Cartier–Taguchi).

(3) Si $f : G \to G'$ est un morphisme de schémas en groupes stricts et finis qui induit un isomorphisme en fibre générique, alors $\deg_\pi(G) \leqslant \deg_\pi(G')$. De plus, il y a égalité si et seulement f est un isomorphisme.

Démonstration. Les mêmes preuves que [Far10, Lemme 4, Corollaire 3] fonctionnent heureusement aussi bien dans notre contexte ; voir aussi la section 10.2 de *loc. cit.* Nous fournissons une esquisse de preuve pour les groupes tués par π en utilisant leurs formes explicites, comme complément aux preuves conceptuelles de *loc. cit.*

Pour traiter les deux derniers points de la proposition, on se restreint au cas de hauteur 1, les hauteurs supérieures étant traitées de manière similaire. Par la théorie de Oort–Tate, le groupe G est alors de la forme

$$G = \mathrm{Spec}\left(R[Z]/aZ + Z^{q^d}\right).$$

On commence par l'inégalité du point (3). Soit $G' = \mathrm{Spec}\left(R[Z']/a'Z' + Z'^{q^d}\right)$. Le morphisme $G \to G'$ est induit par la flèche

$$R[Z']/(a'Z' + Z'^{q^d}) \to R[Z]/(aZ + Z^{q^d})$$

qui envoie Z' dans cZ, ce qui implique qu'on a les équations explicites :

$$a'cZ + c^{q^d}Z^{q^d} = aZ + Z^{q^d} = 0.$$

En passant aux valuations, on obtient l'égalité :

$$v_\pi(a') = v_\pi(a) + (q^d - 1)v_p(c),$$

et on obtient finalement l'inégalité désirée. Si G et G' sont isomorphes, alors forcément $v_\pi(a') = v_\pi(a)$. Dans l'autre direction, si $\deg_\pi(G) = \deg_\pi(G')$ alors $v_\pi(a') = v_\pi(a)$ et par Oort–Tate, ils sont isomorphes.

Pour le point (2) on remarque que si $G = \mathrm{Spec}\left(R[Z]/aZ + Z^{q^d}\right)$ alors son dual au sens de Faltings est $G^\vee = \mathrm{Spec}\left(R[Z]/(\frac{\pi}{a}Z + Z^{q^d})\right)$ et l'on conclut immédiatement.

Pour traiter le point (1) on considère des schémas en groupes de n'importe quelle hauteur, car en hauteur un, il n'y a strictement rien à démontrer. Toujours par la théorie de Oort–Tate et Raynaud [Ray74], on considère la suite exacte

$$R[X_1,\dots,X_{f_1}]/(a_iX_i + X_{i+i}^{q^d}) \hookrightarrow R[Y_1,\dots,Y_{f_2}]/(b_iY_i + Y_{i+1}^{q^d}) \twoheadrightarrow R[Z_1,\dots,Z_{f_3}]/(c_iZ_i + Z_{i+1}^{q^d}),$$

où les indices sont indiqués modulo f_j. (On remarque que f_j est la hauteur du groupe G_j.) On a $\deg_\pi(G_1) = \sum_i v_\pi(a_i)$, et similairement pour les autres cas. Comme la suite est exacte,

la suite demeure exacte au niveau des faisceaux de différentielles [Fal02, Proposition 2] et on a, à unités près, que

$$\{b_1, \dots, b_{f_2}\} = \{a_1, \dots, a_{f_1}, c_1, \dots, c_{f_3}\}.$$

□

On définit donc un morphisme $\deg_\pi : \overline{M}^{\mathrm{rig}}_{\mathfrak{n},\mathrm{drap}} \to [0,1]$ qui envoie $(\mathcal{E}, H)$ dans $\deg_\pi(H)$. Par le théorème 4.4 on voit immédiatement que $\deg_\pi(\overline{M}^{\mathrm{rig}}_{\mathfrak{n}}(v)) \subset (1-v, 1]$. On peut montrer bien davantage, mais tout d'abord il faut prouver le lemme suivant. Pour tout intervalle $I \subset [0,1]$ on définit $\overline{M}^{\mathrm{rig}}_{\mathfrak{n},\mathrm{drap}} I := \deg_\pi^{-1}(I)$.

Lemme 5.2. Soient $y = (\mathcal{E}, H)$ dans $\overline{M}^{\mathrm{rig}}_{\mathfrak{n},\mathrm{drap}}[0,1]$ et $x = (\mathcal{E}/L, H' = (H+L)/L) \in \mathrm{U}_\pi(y)$. Alors $\deg_\pi(y) \leqslant \deg_\pi(x)$ avec égalité si et seulement si $\deg_\pi(y) = 0$ ou 1.

Démonstration. On applique la proposition 5.1 partie (3) à $H \to H'$. Si on a l'égalité, alors $H \cong H'$ et L est un complémentaire de H en fibre spéciale aussi. Donc $\mathcal{E}[\mathfrak{p}] \cong H \times L$, et H et L sont les troncatures de deux groupes $\mathfrak{p}$-divisibles. Donc soit H est le premier cran du module de Carlitz–Hayes, soit il est étale. □

Proposition 5.3. Soit $y = (\mathcal{E}, H)$ dans $\overline{M}^{\mathrm{rig}}_{\mathfrak{n},\mathrm{drap}}[0,0]$. Le nombre de points $x = (\mathcal{E}/L, H' = (H+L)/L) \in \mathrm{U}_\pi(y)$ tels que $\deg_\pi(y) = \deg_\pi(x) = 0$ ne dépend que du rang étale de $\mathcal{E}$.

Démonstration. Si $\deg_\pi(y) = \deg_\pi(x) = 0$, alors on a $\mathcal{E}[\mathfrak{p}] = H \times L$. Comme H est étale, en utilisant la décomposition étale-connexe de $\mathcal{E}[\mathfrak{p}]$ on voit que $L = L' \times \mathcal{E}[\mathfrak{p}]^\circ$, pour un certain L' étale. Calculer le nombre de points x comme dans l'énoncé revient à calculer le nombre des supplémentaires de H dans $\mathcal{E}[\mathfrak{p}]^{\text{ét}}$; comme les groupes sont étales, ceci revient à calculer le nombre de supplémentaires génériques de H et leur nombre ne dépend que du rang étale de $E[\mathfrak{p}]$. □

On obtient donc la proposition suivante :

Proposition 5.4. Pour tout $0 < t < t' < 1$, il existe N tel que $\mathrm{U}_\pi^N(\overline{M}^{\mathrm{rig}}_{\mathfrak{n},\mathrm{drap}}[t,1]) \subset \overline{M}^{\mathrm{rig}}_{\mathfrak{n},\mathrm{drap}}[t',1]$.

Démonstration. Par le lemme 5.2, il suffit de vérifier que la différence entre $\deg_\pi(x)$ et $\deg_\pi(y)$ n'est pas arbitrairement petite. Soient a_H et a'_H les générateurs de ω_H et $\omega_{H'}$. La fonction $g = p_1^*(a_H)^{-1} p_2^*(a_{H'})$ satisfait $v_\pi(g) > 0$ sur $\overline{M}^{\mathrm{rig}}_{\mathfrak{n},\mathrm{drap}}[t,t']$, et par le principe du module maximal, il possède un minimum t_0. Ceci implique que $\mathrm{U}_\pi(\overline{M}^{\mathrm{rig}}_{\mathfrak{n},\mathrm{drap}}[t,1]) \subset \overline{M}^{\mathrm{rig}}_{\mathfrak{n},\mathrm{drap}}[t+t_0,1]$. Si on choisit N tel que $t + Nt_0 > t'$, on obtient le résultat. □

5.2. **La série de Kassaei.** Soit f une forme modulaire de Drinfeld surconvergente de poids $k \geqslant 0$ et propre pour U_π : $\mathrm{U}_\pi f = a_\pi f$. Elle est donc une section de ω^k sur $\overline{M}^{\mathrm{rig}}_{\mathfrak{n}}(v)$. Soit $y \in M^{\mathrm{rig}}_{\mathfrak{n},\mathrm{drap}}(0,1]$. Par la proposition précédente, on peut trouver N tel que $\mathrm{U}_\pi^N(y) \subset \overline{M}^{\mathrm{rig}}_{\mathfrak{n}}(v)$ ‖ et donc on définit

$$f(y) := \frac{1}{(a_\pi \pi^{r-1})^N} \sum_{x \in \mathrm{U}_\pi^N(y)} f(x). \tag{5}$$

La difficulté est l'extension à la partie $M^{\mathrm{rig}}_{\mathfrak{n},\mathrm{drap}}[0,0]$: pour ce faire, on utilise l'astuce de la série de Kassaei [Kas06] (voir aussi la généralisation considérable de [BPS16]). L'idée est la suivante : soit y un point de $M^{\mathrm{rig}}_{\mathfrak{n},\mathrm{drap}}[0,0]$ et supposons que f est déjà définie sur toute la variété modulaire, on a alors la réécriture suivante :

$$f(y) = \frac{1}{a_\pi \pi^{r-1}} \sum_{x \in \mathrm{U}_\pi^{\mathrm{good}}(y)} f(x) + \frac{1}{a_\pi \pi^{r-1}} \sum_{x \in \mathrm{U}_\pi^{\mathrm{bad}}(y)} f(x)$$

‖. car $\overline{M}^{\mathrm{rig}}_{\mathfrak{n}}(v)$ est un voisinage strict du lieu ordinaire-multiplicatif qui coïncide avec $\deg_\pi^{-1}(1)$.

où $\mathrm{U}_\pi^{\mathrm{good}}(y)$ sont les points dans $\overline{M}^{\mathrm{rig}}_{\mathfrak{n},\mathrm{drap}}(0,1]$ et $\mathrm{U}_\pi^{\mathrm{bad}}(y)$ les points dans $M^{\mathrm{rig}}_{\mathfrak{n},\mathrm{drap}}[0,0]$. On définit donc par récurrence

$$\mathrm{U}_\pi^{N,\mathrm{good}}(y) := \left\{x \in \mathrm{U}_\pi(x') \cap M^{\mathrm{rig}}_{\mathfrak{n},\mathrm{drap}}(0,1] | x' \in \mathrm{U}_\pi^{N-1,\mathrm{bad}}(y)\right\}$$
$$\mathrm{U}_\pi^{N,\mathrm{bad}}(y) := \left\{x \in \mathrm{U}_\pi(x') \cap M^{\mathrm{rig}}_{\mathfrak{n},\mathrm{drap}}[0,0] | x' \in \mathrm{U}_\pi^{N-1,\mathrm{bad}}(y)\right\}.$$

En itérant cette astuce, on obtient

$$f(y) = \sum_{N=1}^{\infty} \frac{1}{(a_\pi \pi^{r-1})^N} \sum_{x \in \mathrm{U}_\pi^{N,\mathrm{good}}(y)} f(x)$$

et si $|\mathrm{U}_\pi^{N,\mathrm{good}}| \leqslant q^{-dcN}$ la série converge pourvu que $\frac{\pi^c}{a_\pi \pi^{r-1}}$ ait norme plus petite que 1. On définit donc une fonction F sur $M^{\mathrm{rig}}_{\mathfrak{n},\mathrm{drap}}[0,0]$ par la formule

$$F(y) := \sum_{N=1}^{\infty} \frac{1}{(a_\pi \pi^{r-1})^N} \sum_{x \in \mathrm{U}_\pi^{N,\mathrm{good}}(y)} f(x).$$

Lemme 5.5. Soit x dans $\mathrm{U}_\pi^{\mathrm{bad}}(y)$, alors $f(x) \in \mathfrak{p}^k \omega_x^k$.

Démonstration. Soit $x = (\mathcal{E}_x, H_x)$, on a donc $\mathcal{E}[\mathfrak{p}] \cong H \times L$, où L est le supplémentaire tel que $\mathcal{E}_x = \mathcal{E}/L$. Toujours par la proposition 5.1, on a $\deg_\pi(L) = \deg_\pi(\mathcal{E}[\mathfrak{p}]) = 1$ **. Les mêmes calculs que dans les lemmes 3.7 et 3.8 nous assurent que $p_2^* \omega_{\mathcal{E}_i/L_i} \subset \pi p_1^* \omega_{\mathcal{E}_i}$. Si x appartient à $\mathrm{U}_\pi^{\mathrm{bad}}(y)$, alors on a donc que $f(x) \in \mathfrak{p}^k \omega_x^k$. □

Par itération, on en déduit que la série ci-haut converge si $k - r + 1 > v_\pi(a_\pi)$.

Il nous reste à démontrer que $\mathrm{U}_\pi^{\mathrm{good}}(f)$ et $\mathrm{U}_\pi^{\mathrm{bad}}(f)$ sont des fonctions rigides-analytiques.

Lemme 5.6. Soit N un entier. Il existe ϵ_N assez petit et un recouvrement admissible $\{\mathcal{U}_{l,\epsilon_N}\}$ de $M^{\mathrm{rig}}_{\mathfrak{n},\mathrm{drap}}[0,\epsilon_N]$ tel que sur $\mathcal{U}_{l,\epsilon_N} \backslash \mathcal{U}_{l+1,\epsilon_N}$ on peut décomposer

$$\mathrm{U}_\pi^N = \mathrm{U}_\pi^{N,\mathrm{good}} \bigsqcup \mathrm{U}_\pi^{N,\mathrm{bad}} \bigsqcup \mathrm{U}_\pi^{N,N-1}$$

par des correspondances finies et étales. De plus, la suite des ϵ_N tend vers 0.

Démonstration. On considère la stratification de $M_{\mathfrak{n},1}$ donné par le rang étale de $\mathcal{E}$, c'est-à-dire la stratification par le $\mathfrak{p}$-rang. On définit donc $\mathcal{V}_l$ comme l'image inverse par la flèche d'oubli $M^{\mathrm{rig}}_{\mathfrak{n},\mathrm{drap}}$ vers $M^{\mathrm{rig}}_{\mathfrak{n}}$ et puis de spécialisation de $M^{\mathrm{rig}}_{\mathfrak{n}}$ vers $M_{\mathfrak{n},1}$, du lieu où le $\mathfrak{p}$-rang de la partie étale est plus grand que ou égal à l. On définit $\mathcal{U}_{l,\epsilon}$ comme l'intersection de $\mathcal{V}_l$ avec $M^{\mathrm{rig}}_{\mathfrak{n},\mathrm{drap}}[0,\epsilon]$. Si $\epsilon = 0$, par la proposition 5.3, on sait que si $x \in \mathcal{U}_{l,0} \backslash \mathcal{U}_{l+1,0}$, alors on peut décomposer U_π en $\mathrm{U}_\pi^{\mathrm{good}} \sqcup \mathrm{U}_\pi^{\mathrm{bad}}$. Comme dans la preuve de [BPS16, Lemme 4.3.6], on peut choisir ϵ_1 suffisamment petit tel que pour les points x de $\mathcal{U}_{l,\epsilon_1} \backslash \mathcal{U}_{l+1,\epsilon_1}$, le nombre de points de $\mathrm{U}_\pi(x)$ de petit degré est fixé. Par un léger abus de notation, on appelle alors cet ensemble de points $\mathrm{U}_\pi^{\mathrm{bad}}(x)$, et son complémentaire est $\mathrm{U}_\pi^{\mathrm{good}}(x)$. Dans la même suite d'idées, on définit donc $\mathrm{U}_\pi^{N,\mathrm{good}}$ et $\mathrm{U}_\pi^{N,\mathrm{bad}}$ par récurrence : $\mathrm{U}_\pi^{N,\mathrm{bad}}$ est $\mathrm{U}_\pi^{\mathrm{bad}} \circ \cdots \circ \mathrm{U}_\pi^{\mathrm{bad}}$, itéré N fois, et $\mathrm{U}_\pi^{N,\mathrm{good}}$ est $\mathrm{U}_\pi^{\mathrm{good}} \circ \mathrm{U}_\pi^{\mathrm{bad}} \circ \cdots \circ \mathrm{U}_\pi^{\mathrm{bad}}$ avec $N-1$ copies de $\mathrm{U}_\pi^{\mathrm{bad}}$. Par la proposition 4.1.8 de [BPS16], il est garanti que ces deux correspondances $\mathrm{U}_\pi^{\mathrm{bad}}$ et $\mathrm{U}_\pi^{\mathrm{good}}$ sont finies et étales ; et ib. pour $\mathrm{U}_\pi^{N,\mathrm{good}}$ et $\mathrm{U}_\pi^{N,\mathrm{bad}}$. La correspondance $\mathrm{U}_\pi^{N,N-1}$ est donnée par l'union finie des correspondances $\mathrm{U}_\pi^j \circ \mathrm{U}_\pi^{N-j,\mathrm{good}}$ pour $j \geqslant 1$, qui sont clairement aussi finies et étales. Les ϵ_N sont définis par récurrence : on veut que la $N-1$-ième itération de $\mathrm{U}_\pi^{\mathrm{bad}}$ tombe dans $M^{\mathrm{rig}}_{\mathfrak{n},\mathrm{drap}}[0,\epsilon_1]$; le même

**. [Pil11, Lemme 2.1]

raisonnement que dans la preuve de la proposition 5.4 sur la dynamique de U_π montre que les ϵ_N tendent vers 0.

□

On peut donc définir une section de ω^k via :

$$f_j(y) = \sum_{N=1}^{j} \frac{1}{(a_\pi \pi^{r-1})^N} \sum_{x \in \mathrm{U}_\pi^{N,\mathrm{good}}(y)} f(x)$$

pour $y \in M^{\mathrm{rig}}_{\mathfrak{n},\mathrm{drap}}[0, \epsilon_j)$.

Hypothèse 5.7. On suppose que la pente de f par rapport à U_π satisfait $v_\pi(a_\pi) < k - r + 1$.

On a la proposition suivante :

Proposition 5.8. (i) Toutes les fonctions f_j et f sont bornées uniformément par une constante M sur leur domaine de définition ;
(ii) $|f_j - f|_{M^{\mathrm{rig}}_{\mathfrak{n},\mathrm{drap}}[0,0]} \to 0$ avec j ;
(iii) $|f_j - f|_{M^{\mathrm{rig}}_{\mathfrak{n},\mathrm{drap}}(0,\epsilon_j]} \to 0$ avec j ;
(iv) $|f_j - f_{j+1}|_{M^{\mathrm{rig}}_{\mathfrak{n},\mathrm{drap}}[0,\epsilon_{j+1}]} \to 0$ avec j.

Démonstration. (i) On commence par f, qui est définie sur $M^{\mathrm{rig}}_{\mathfrak{n},\mathrm{drap}}(0,1]$. Comme f est bornée sur $\overline{M}^{\mathrm{rig}}_{\mathfrak{n}}(v)$, par la définition (5) f est bornée sur $M^{\mathrm{rig}}_{\mathfrak{n},\mathrm{drap}}[\epsilon,1]$ par un certain M_1. On montre par la suite que $\mathrm{U}_\pi^{\mathrm{bad}}$ a norme très grande sur $M^{\mathrm{rig}}_{\mathfrak{n},\mathrm{drap}}[0,\epsilon]$; par construction, il existe une constante positive C telle que $1 \geqslant \deg_\pi(L^{\mathrm{bad}}) \geqslant C$ pour tout $(\mathcal{E}, H, L^{\mathrm{bad}})$ avec $(\mathcal{E}, H)$ dans $M^{\mathrm{rig}}_{\mathfrak{n},\mathrm{drap}}[0,\epsilon]$. Ceci implique que $p_2^*\omega_{\mathcal{E}/L^{\mathrm{bad}}} \subset \pi^C p_1^*\omega_{\mathcal{E}}$ et que $f(\mathrm{U}_\pi^{\mathrm{bad}}(y)) \in \pi^{Ck}\omega^k_{\mathrm{U}_\pi^{\mathrm{bad}}(y)}$. On peut donc écrire

$$f(y) = \frac{1}{\pi a_\pi} f(\mathrm{U}_\pi^{\mathrm{bad}}(y)) + \frac{1}{\pi a_\pi} \sum_{x \in \mathrm{U}_\pi^{\mathrm{good}}(y)} f(x)$$

et par le lemme 5.6 tous ces x sont dans $M^{\mathrm{rig}}_{\mathfrak{n},\mathrm{drap}}(\delta,1)$ avec $\delta > \epsilon$. La norme de f est donc bornée par la maximum entre $M_1/|\pi a_\pi|_\pi$ et $M_1|\frac{\pi^{Ck}}{\pi a_\pi}|_\pi$.

En ce qui concerne les f_j : on prouve le tout par récurrence, en utilisant que la différence entre deux termes f_j s'écrit en termes de $\mathrm{U}_\pi^{N,\mathrm{bad}}(f)$.

(ii) Pour montrer ce premier estimé, il suffit d'itérer le lemme 5.5 qui nous donne que la norme est plus petite de $|\frac{\pi^{jk}}{(a_\pi \pi^{r-1})^j}|_\pi$ qui tend vers 0 par l'hypothèse sur la pente ;
(iii) Pour cet autre estimé, on utilise l'adaptation du lemme 5.5 démontré dans le point (i) et le fait que la différence est donnée par $\frac{\mathrm{U}_\pi^{N,\mathrm{bad}}}{\pi a_\pi}$.
(iv) On utilise ici aussi l'estimé de la norme de $\mathrm{U}_\pi^{N,\mathrm{bad}}$.

□

Théorème 5.9. Soit f une forme modulaire de Drinfeld surconvergente et propre pour U_π de pente $< k - r + 1$. Il existe alors une unique extension de f à $M^{\mathrm{rig}}_{\mathfrak{n},\mathrm{drap}}$, et cette extension est bornée.

Démonstration. Il suffit de construire une section de ω^k sur $M^{\mathrm{rig}}_{\mathfrak{n},\mathrm{drap}}[0,\epsilon]$ à partir de f_j et f. Quitte à multiplier f_j et f par une puissance assez grande de π, on peut supposer que toutes

les fonctions sont entières. Par la proposition 5.8, partie (iii), modulo π^{m_j} on peut recoller f_j et f sur $M^{\mathrm{rig}}_{\mathfrak{n},\mathrm{drap}}[0,\epsilon]$ en une fonction g_j. Quitte à raffiner la suite g_j, on obtient une suite dans

$$\varprojlim_j \mathrm{H}^0(M^{\mathrm{rig}}_{\mathfrak{n},\mathrm{drap}}[0,\epsilon],\omega^k/\pi^j).$$

Par [Kas06, Lemma 2.3] (voir aussi [BPS16, Proposition 4.1.2]), quitte à inverser π, on obtient alors une section de $\mathrm{H}^0(M^{\mathrm{rig}}_{\mathfrak{n},\mathrm{drap}}[0,\epsilon],\omega^k)$ qui coïncide avec f sur $M^{\mathrm{rig}}_{\mathfrak{n},\mathrm{drap}}(0,\epsilon]$. Par un inoffensif abus de notation, on dénote par f aussi le recollement sur $M^{\mathrm{rig}}_{\mathfrak{n},\mathrm{drap}}$ de cette section avec f. Par la proposition 5.8, partie (i), f est bornée. □

On obtient donc le théorème de classicité désiré :

Corollaire 5.10. Soit f comme dans le théorème 5.9, alors $f \in \mathrm{H}^0(\overline{M}_{\mathfrak{n},\mathrm{drap}},\omega^k)$.

Démonstration. Par la section précédente, une telle forme f définit une section bornée de ω^k sur $M^{\mathrm{rig}}_{\mathfrak{n},\mathrm{drap}}$. Comme la compactification $\overline{M}^{\mathrm{rig}}_{\mathfrak{n},\mathrm{drap}}$ est normale, son bord est un fermé de Zariski de codimension 1, et f est bornée, on peut utiliser [Lüt74, Theorem 1.6 I)] pour étendre f à une section de $\mathrm{H}^0(\overline{M}^{\mathrm{rig}}_{\mathfrak{n},\mathrm{drap}},\omega^k)$. Par le théorème GAGA rigide [Kie67], on a

$$\mathrm{H}^0(\overline{M}^{\mathrm{rig}}_{\mathfrak{n},\mathrm{drap}},\omega^k) = \mathrm{H}^0(\overline{M}_{\mathfrak{n},\mathrm{drap}},\omega^k)$$

et on conclut. □

Remerciements

Nous remercions chaleureusement le professeur Hida pour de nombreuses conversations stimulantes et plus généralement, pour ses travaux qui nous ont profondément inspirés. Nous tenons à remercier bien sincèrement Shin Hattori pour son vif intérêt, ses nombreuses remarques pointues sur la partie de l'article portant sur les familles de pente finie qui nous ont permis de la remanier entièrement, d'éliminer plusieurs points douteux et de clarifier nettement certaines preuves. Nous remercions aussi Federico Pellarin pour ses réactions quasi-instantanées à une première version de cet article et ses commentaires pour améliorer la présentation. Cette recherche a été rendue possible en partie grâce au financement de la Fondation Simons et du Centre de recherches mathématiques (programme CRM-Simons), et surtout grâce à une délégation auprès du Centre national de la recherche scientifique (CNRS), sans laquelle la présence de M.-H.N. à Montréal eut été impossible sur une si longue durée.

Sommaire des notations

Notations algébriques :

- Soient p un nombre premier, et $\mathbb{F}_q[T]$ l'anneau des polynômes en une variable T, où $\mathbb{F}_q$ est une extension finie du corps $\mathbb{F}_p$;
- Soit F un corps de fonctions en une variable sur un corps fini $\mathbb{F}_q$;
- Soit ∞ une place de F ;
- Soit A l'anneau des éléments de F entiers sauf possiblement en l'∞ ;
- Soit $\mathfrak{p} \subset A$ un idéal premier engendré par un polynôme irréductible unitaire de degré d et v la place associée ;
- Soit $A_\mathfrak{p}$ la complétion $\mathfrak{p}$-adique A et π une uniformisante[††] ;
- Soit $\kappa_\mathfrak{p}$ le corps résiduel de $A_\mathfrak{p}$;
- Soit $\mathcal{O}$ une extension finie de $A_\mathfrak{p}$ suffisamment grande ;
- Soit R une $A_\mathfrak{p}$-algèbre v-adiquement complète sans $\mathcal{O}$-torsion ;
- Soit $F_\mathfrak{p}$ le corps des fractions de $A_\mathfrak{p}$;

††. i.e., $A_\mathfrak{p} \simeq \mathbb{F}_{q^d}[[\pi]]$ après avoir choisi l'uniformisante π

— Soit $\mathfrak{n}$ un idéal de A relativement premier à v.

Notations de géométrie algébrique :

— Soient $M_{\mathfrak{n}}$ la variété modulaire de Drinfeld i.e., l'espace de module fin paramétrisant les modules de Drinfeld de rang r munis d'une structure de niveau $\mathfrak{n}$, et $\overline{M_{\mathfrak{n}}}$ sa compactification minimale ;

— Soient $\mathcal{E}$ l'objet universel au-dessus de $M_{\mathfrak{n}}$, et $\overline{\mathcal{E}}$ son extension au-dessus de $\overline{M_{\mathfrak{n}}}$ en un module de Drinfeld généralisé au sens de Pink ;

— Soit $\omega := \omega_{\overline{\mathcal{E}}/\overline{M_{\mathfrak{n}}}}$ le dual de l'algèbre de Lie relative de $\overline{\mathcal{E}}$;

— Soit $\mathcal{M}_k := \mathrm{H}^0(\overline{M_{\mathfrak{n}}}, \omega^k)$ l'espace des formes modulaires de Drinfeld de poids k sur $M_{\mathfrak{n}}$.

Notations de la théorie de Hida :

— Soit U_π l'opérateur de Hecke en v normalisé ;

— Soit $\mathcal{V}$ l'espace des formes modulaires π-adiques ;

— Soit Ha l'invariant de Hasse.

Références

[AIP18] Fabrizio Andreatta, Adrian Iovita, and Vincent Pilloni, *Le halo spectral*, Ann. Sci. École Norm. Sup. (4) **51** (2018), no. 3, 603–655.

[BGR84] S. Bosch, U. Güntzer, and R. Remmert, *Non-Archimedean analysis*, Grundlehren der Mathematischen Wissenschaften [Fundamental Principles of Mathematical Sciences], vol. 261, Springer-Verlag, Berlin, 1984, A systematic approach to rigid analytic geometry. MR 746961 (86b :32031)

[BH97] P. N. Balister and S. Howson, *Note on Nakayama's lemma for compact Λ-modules*, Asian J. Math. **1** (1997), no. 2, 224–229. MR 1491983

[BLGGT14] Thomas Barnet-Lamb, Toby Gee, David Geraghty, and Richard Taylor, *Potential automorphy and change of weight*, Ann. of Math. (2) **179** (2014), no. 2, 501–609. MR 3152941

[Böc15] Gebhard Böckle, *Hecke characters associated to Drinfeld modular forms*, Compos. Math. **151** (2015), no. 11, 2006–2058, With an appendix by the author and Tommaso Centeleghe. MR 3427572

[BPS16] Stéphane Bijakowski, Vincent Pilloni, and Benoît Stroh, *Classicité de formes modulaires surconvergentes*, Ann. of Math. (2) **183** (2016), no. 3, 975–1014. MR 3488741

[Bra13] Riccardo Brasca, *p-adic modular forms of non-integral weight over Shimura curves*, Compos. Math. **149** (2013), no. 1, 32–62. MR 3011877

[Buz07] Kevin Buzzard, *Eigenvarieties*, L-functions and Galois representations, London Math. Soc. Lecture Note Ser., vol. 320, Cambridge Univ. Press, Cambridge, 2007, pp. 59–120. MR 2392353 (2010g :11076)

[BV18a] Andrea Bandini and Maria Valentino, *On the Atkin U_t-operator for $\Gamma_1(t)$-invariant Drinfeld cusp forms*, Int. J. Number Theory **14** (2018), no. 10, 2599–2616. MR 3869599

[BV18b] Kevin Buzzard and Alain Verberkmoes, *Stably uniform affinoids are sheafy*, J. Reine Angew. Math. **740** (2018), 25–39. MR 3824781

[BV19] Andrea Bandini and Maria Valentino, *On the Atkin U_t-operator for $\Gamma_0(t)$-invariant Drinfeld cusp forms*, Proc. Amer. Math. Soc. **147** (2019), no. 10, 4171–4187.

[Col97] Robert F. Coleman, *p-adic Banach spaces and families of modular forms*, Invent. Math. **127** (1997), no. 3, 417–479. MR 1431135 (98b :11047)

[Col05] ———, *The canonical subgroup of E is* $\operatorname{Spec} R[x]/(x^p + \frac{p}{E_{p-1}(E,\omega)}x)$, Asian J. Math. **9** (2005), no. 2, 257–260. MR 2176608

[Dri74] V. G. Drinfeld, *Elliptic modules*, Mat. Sb. (N.S.) **94(136)** (1974), 594–627, 656. MR 0384707

[dS16] Ehud de Shalit, *Mahler bases and elementary p-adic analysis*, J. Théor. Nombres Bordeaux **28** (2016), no. 3, 597–620. MR 3610689

[Ell14] Jesse Elliott, *Factoring formal power series over principal ideal domains*, Trans. Amer. Math. Soc. **366** (2014), no. 8, 3997–4019. MR 3206450

[Eme] Matthew Emerton, *Local-global compatibility in the p-adic Langlands programme for* $\mathrm{GL}_2/\mathbb{Q}$, preprint. Available at http://www.math.uchicago.edu/~emerton/preprints.html.

[Fal02] Gerd Faltings, *Group schemes with strict $\mathcal{O}$-action*, Mosc. Math. J. **2** (2002), no. 2, 249–279, Dedicated to Yuri I. Manin on the occasion of his 65th birthday. MR 1944507

[Far10] Laurent Fargues, *La filtration de Harder-Narasimhan des schémas en groupes finis et plats*, J. Reine Angew. Math. **645** (2010), 1–39. MR 2673421

[Gek90] Ernst-Ulrich Gekeler, *Sur la géométrie de certaines algèbres de quaternions*, Sém. Théor. Nombres Bordeaux (2) **2** (1990), no. 1, 143–153. MR 1061763

[Gek91] ———, *On finite Drinfeld modules*, J. Algebra **141** (1991), no. 1, 187–203. MR 1118323

[Gek92] ———, *On the arithmetic of some division algebras*, Comment. Math. Helv. **67** (1992), no. 2, 316–333. MR 1161288

[GM93] F. Q. Gouvêa and B. Mazur, *On the characteristic power series of the U operator*, Ann. Inst. Fourier (Grenoble) **43** (1993), no. 2, 301–312. MR 1220270

[Gol15] Dorian Goldfeld, *Automorphic forms and L-functions for the group* $\mathrm{GL}(n, \mathrm{R})$, Cambridge Studies in Advanced Mathematics, vol. 99, Cambridge University Press, Cambridge, 2015, With an appendix by Kevin A. Broughan, Paperback edition of the 2006 original [MR2254662]. MR 3468028

[Gos96] David Goss, *Basic structures of function field arithmetic*, Ergebnisse der Mathematik und ihrer Grenzgebiete (3) [Results in Mathematics and Related Areas (3)], vol. 35, Springer-Verlag, Berlin, 1996. MR 1423131

[Gos02] ———, *Can a Drinfeld module be modular ?*, J. Ramanujan Math. Soc. **17** (2002), no. 4, 221–260. MR 1952837

[Gos14] ———, *A construction of* $\mathfrak{v}$*-adic modular forms*, J. Number Theory **136** (2014), 330–338. MR 3145337

[GS93] Ralph Greenberg and Glenn Stevens, *p-adic L-functions and p-adic periods of modular forms*, Invent. Math. **111** (1993), no. 2, 407–447. MR 1198816 (93m :11054)

[Hata] Shin Hattori, *Dimension variation of Gouvêa–Mazur type for Drinfeld cuspforms of level* $\Gamma_1(t)$, to appear in Int. Math. Res. Not.

[Hatb] ———, *Duality of Drinfeld modules and* $\mathfrak{p}$*-adic properties of Drinfeld modular forms*, to appear in J. Lond. Math. Soc.

[Hatc] ———, *Table of t-adic slopes on Drinfeld modular forms*, version June 21, 2018, http://www.comm.tcu.ac.jp/~shinh/.

[Haz78] Michiel Hazewinkel, *Formal groups and applications*, Pure and Applied Mathematics, vol. 78, Academic Press, Inc. [Harcourt Brace Jovanovich, Publishers], New York-London, 1978. MR 506881

[HG94] M. J. Hopkins and B. H. Gross, *Equivariant vector bundles on the Lubin-Tate moduli space*, Topology and representation theory (Evanston, IL, 1992), Contemp. Math., vol. 158, Amer. Math. Soc., Providence, RI, 1994, pp. 23–88. MR 1263712

[Hid86] Haruzo Hida, *Iwasawa modules attached to congruences of cusp forms*, Ann. Sci. École Norm. Sup. (4) **19** (1986), no. 2, 231–273. MR MR868300 (88i :11023)

[Hid93] ———, *Elementary theory of L-functions and Eisenstein series*, London Mathematical Society Student Texts, vol. 26, Cambridge University Press, Cambridge, 1993. MR MR1216135 (94j :11044)

[Hid95] ———, *Control theorems of p-nearly ordinary cohomology groups for* $\mathrm{SL}(n)$, Bull. Soc. Math. France **123** (1995), no. 3, 425–475. MR 1373742

[Hid02] ———, *Control theorems of coherent sheaves on Shimura varieties of PEL type*, J. Inst. Math. Jussieu **1** (2002), no. 1, 1–76. MR 1954939 (2003m :11086)

[Hid05] ———, *p-adic automorphic forms on reductive groups*, Astérisque **298** (2005), 147–254.

[Hid11] ———, *Irreducibility of the Igusa tower over unitary Shimura varieties*, On certain *L*-functions, Clay Math. Proc., vol. 13, Amer. Math. Soc., Providence, RI, 2011, pp. 187–203. MR 2767517

[HR17] X. He and M. Rapoport, *Stratifications in the reduction of Shimura varieties*, Manuscripta Math. **152** (2017), no. 3-4, 317–343. MR 3608295

[Hub93] R. Huber, *Continuous valuations*, Math. Z. **212** (1993), no. 3, 455–477. MR 1207303

[Hub94] ———, *A generalization of formal schemes and rigid analytic varieties*, Math. Z. **217** (1994), no. 4, 513–551. MR 1306024

[Hub96] Roland Huber, *Etale cohomology of rigid analytic varieties and adic spaces*, Aspects of Mathematics, E30, Friedr. Vieweg & Sohn, Braunschweig, 1996. MR 1734903

[Jeo09] Sangtae Jeong, *On a question of Goss*, J. Number Theory **129** (2009), no. 8, 1912–1918. MR 2522713

[Kas04] Payman L. Kassaei, *$\mathcal{P}$-adic modular forms over Shimura curves over totally real fields*, Compos. Math. **140** (2004), no. 2, 359–395. MR 2027194

[Kas06] ———, *A gluing lemma and overconvergent modular forms*, Duke Math. J. **132** (2006), no. 3, 509–529. MR 2219265

[Kat73] Nicholas M. Katz, *p-adic properties of modular schemes and modular forms*, Modular functions of one variable, III (Proc. Internat. Summer School, Univ. Antwerp, Antwerp, 1972), Springer, Berlin, 1973, pp. 69–190. Lecture Notes in Mathematics, Vol. 350. MR 0447119 (56 #5434)

[Kie67] Reinhardt Kiehl, *Der Endlichkeitssatz für eigentliche Abbildungen in der nichtarchimedischen Funktionentheorie*, Invent. Math. **2** (1967), 191–214. MR 0210948

[KS] S. Kondo and Y. Sugiyama, *An explicit form of the canonical submodule of a Drinfeld module*, preprint, https://arxiv.org/abs/1803.01981.

[KS73] Willem Kuyk and J.-P. Serre (eds.), *Modular functions of one variable. III*, Lecture Notes in Mathematics, Vol. 350, Springer-Verlag, Berlin-New York, 1973. MR 0323724

[Lau96] Gérard Laumon, *Cohomology of Drinfeld modular varieties. Part I*, Cambridge Studies in Advanced Mathematics, vol. 41, Cambridge University Press, Cambridge, 1996, Geometry, counting of points and local harmonic analysis. MR 1381898

[LT66] Jonathan Lubin and John Tate, *Formal moduli for one-parameter formal Lie groups*, Bull. Soc. Math. France **94** (1966), 49–59. MR 0238854

[Lüt74] Werner Lütkebohmert, *Der Satz von Remmert-Stein in der nichtarchimedischen Funktionentheorie*, Math. Z. **139** (1974), 69–84. MR 0352527

[Lüt90] ———, *Formal-algebraic and rigid-analytic geometry*, Math. Ann. **286** (1990), no. 1-3, 341–371. MR 1032938

[Mar07] Nicola Marigonda, *Towers of Drinfeld modular curves and special values of L-functions*, Ph.D. thesis, Università degli studi di Milano, 2007, p. 62.

[Moo01] Ben Moonen, *Group schemes with additional structures and Weyl group cosets*, Moduli of abelian varieties (Texel Island, 1999), Progr. Math., vol. 195, Birkhäuser, Basel, 2001, pp. 255–298. MR 1827024

[Moo04] ———, *A dimension formula for Ekedahl-Oort strata*, Ann. Inst. Fourier (Grenoble) **54** (2004), no. 3, 666–698. MR 2097418

[Oor99] Frans Oort, *A stratification of a moduli space of polarized abelian varieties in positive characteristic*, Moduli of curves and abelian varieties, Aspects Math., E33, Friedr. Vieweg, Braunschweig, 1999, pp. 47–64. MR 1722538

[Pil11] Vincent Pilloni, *Prolongement analytique sur les variétés de Siegel*, Duke Math. J. **157** (2011), no. 1, 167–222. MR 2783930 (2012f :11094)

[Pil12] ———, *Sur la théorie de Hida pour le groupe* GSp_{2g}, Bull. Soc. Math. France **140** (2012), no. 3, 335–400. MR 3059119

[Pil13] ———, *Overconvergent modular forms*, Ann. Inst. Fourier (Grenoble) **63** (2013), no. 1, 219–239. MR 3097946

[Pin13] Richard Pink, *Compactification of Drinfeld modular varieties and Drinfeld modular forms of arbitrary rank*, Manuscripta Math. **140** (2013), no. 3-4, 333–361. MR 3019130

[Ray74] Michel Raynaud, *Schémas en groupes de type* $(p, \dots, p)$, Bull. Soc. Math. France **102** (1974), 241–280. MR 419467

[Ros03] Michael Rosen, *Formal Drinfeld modules*, J. Number Theory **103** (2003), no. 2, 234–256. MR 2020270

[Sch18] Peter Scholze, *On the p-adic cohomology of the Lubin-Tate tower*, Ann. Sci. Éc. Norm. Supér. (4) **51** (2018), no. 4, 811–863, With an appendix by Michael Rapoport.

[Ser62] Jean-Pierre Serre, *Endomorphismes complètement continus des espaces de Banach p-adiques*, Inst. Hautes Études Sci. Publ. Math. (1962), no. 12, 69–85. MR 0144186 (26 #1733)

[Sta18] The Stacks project authors, *The stacks project*, https://stacks.math.columbia.edu, 2018.

[SW] Peter Scholze and Jared Weinstein, *Berkeley lectures on p-adic geometry*, to appear in Annals of Math. Studies, Lecture notes from course at UC Berkeley in Fall 2014, available at https://math.berkeley.edu/~jared/Math274/ScholzeLectures.pdf.

[Tag95] Yuichiro Taguchi, *A duality for finite t-modules*, J. Math. Sci. Univ. Tokyo **2** (1995), no. 3, 563–588. MR 1382520

[Tam94] Günter Tamme, *Introduction to étale cohomology*, Universitext, Springer-Verlag, Berlin, 1994, Translated from the German by Manfred Kolster. MR 1317816

[Vin14] Vincent, Christelle, *On the trace and norm maps from* $\Gamma_0(\mathfrak{m}p)$ *to* $\mathrm{GL}_2(A)$, J. Number Theory **142** (2014), 18–43.

[YY04] Chia-Fu Yu and Jing Yu, *Mass formula for supersingular Drinfeld modules*, C. R. Math. Acad. Sci. Paris **338** (2004), no. 12, 905–908. MR 2066348

M.-H. N. : Aix Marseille Université, CNRS, Centrale Marseille, I2M, UMR 7373, 13453 Marseille ; Mailing Address : Université d'Aix-Marseille, campus de Luminy, case 907, Institut mathématique de Marseille (I2M), 13288 Marseille cedex 9, FRANCE

Email address: marc-hubert.nicole@univ-amu.fr

G.R. : Concordia University, Department of Mathematics and Statistics, Montréal, Québec, Canada

Email address: giovanni.rosso@concordia.ca

URL: https://sites.google.com/site/gvnros/